

České vysoké učení technické

Fakulta stavební

Katedra ocelových a dřevěných konstrukcí

Obor Konstrukce pozemních staveb



Bakalářská práce

Ocelová konstrukce nástavby administrativní budovy

Přílohy

Vypracoval: Martin Pavelka

Vedoucí práce: doc. Ing. Michal Jandera, Ph.D.

Květen 2018

Obsah

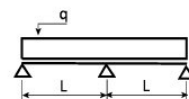
Hacierco 40/160	1.
Z vaznice 200/2,0	2.
Hacierco 55/250	3.
TR 200/240	4.
Vnitřní síly na vnitřní vazbě (vazník)	5.
Vnitřní síly na vnitřní vazbě (rám)	15.
Vnitřní síly na krajní vazbě (1. vazba) (vazník)	29.
Výstup z programu LTBeamN stropnice v krajním poli	40.
Výstup z programu LTBeamN stropnice se ztužidlem	41.
Výstup z programu LTBeamN stropnice ve střední poli	42.
Výstup z programu LTBeamN vazník ve vnitřní vazbě	43.
Výstup z programu LTBeamN vazník ve vnější vazbě	44.
Střešní ztužidla	45.
Kotvení kloubové patky	52.
Kotvení ztužidlové patky	55.

Hacierco 40/160

Vysvětlivky

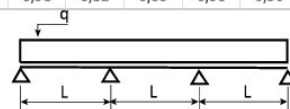
$q_{Ed} (c < 1,5h)$	návrhová hodnota únosnosti: krajní podpora šířky min. 40 mm s přesahem plechu 40 mm za podporu, vnitřní podpora šířky min. 120 mm [kN/m ²]
$q_{Ed} (c \geq 1,5h)$	návrhová hodnota únosnosti: krajní podpora šířky min. 40 mm s přesahem plechu 1,5 x výška plechu za podporu, vnitřní podpora šířky min. 120 mm [kN/m ²]
$q_{Ek} (\delta \leq L/200)$	charakteristická hodnota zatížení pro deformaci L/200 [kN/m ²]

SPOJITÝ NOSNÍK SE DVĚMA SHODNÝMI POLI - SYMETRICKÝ PLECH



tN (mm)	g (kN/m ²)	rozpětí pole L [m]																
		1,00	1,25	1,50	1,75	2,00	2,25	2,50	2,75	3,00	3,25	3,50	3,75	4,00	4,25	4,50	4,75	5,00
0,55	$q_{Ed} (c < 1,5h)$	11,81	8,27	6,13	4,73	3,76	3,07	2,55	2,15	1,84	1,57	1,36	1,18	1,04	0,92	0,82	0,74	0,67
	$q_{Ed} (c \geq 1,5h)$	11,81	8,27	6,13	4,73	3,76	3,07	2,55	2,15	1,84	1,57	1,36	1,18	1,04	0,92	0,82	0,74	0,67
	$q_{Ek} (\delta \leq L/200)$	26,18	13,41	7,76	4,89	3,27	2,30	1,68	1,26	0,97	0,76	0,61	0,50	0,41	0,34	0,29	0,24	0,21
0,63	$q_{Ed} (c < 1,5h)$	14,64	10,19	7,52	5,78	4,58	3,73	3,09	2,59	2,18	1,86	1,60	1,39	1,23	1,09	0,97	0,87	0,78
	$q_{Ed} (c \geq 1,5h)$	14,64	10,19	7,52	5,78	4,58	3,73	3,09	2,59	2,18	1,86	1,60	1,39	1,23	1,09	0,97	0,87	0,78
	$q_{Ek} (\delta \leq L/200)$	30,60	15,67	9,07	5,71	3,83	2,69	1,96	1,47	1,13	0,89	0,71	0,58	0,48	0,40	0,34	0,29	0,24
0,75	$q_{Ed} (c < 1,5h)$	18,88	13,05	9,57	7,32	5,79	4,69	3,83	3,17	2,66	2,27	1,95	1,70	1,50	1,33	1,18	1,06	0,96
	$q_{Ed} (c \geq 1,5h)$	18,88	13,05	9,57	7,32	5,79	4,69	3,83	3,17	2,66	2,27	1,95	1,70	1,50	1,33	1,18	1,06	0,96
	$q_{Ek} (\delta \leq L/200)$	37,11	19,00	10,99	6,92	4,64	3,26	2,37	1,78	1,37	1,08	0,87	0,70	0,58	0,48	0,41	0,35	0,30
0,88	$q_{Ed} (c < 1,5h)$	23,63	16,23	11,85	9,04	7,12	5,66	4,59	3,79	3,18	2,71	2,34	2,04	1,79	1,59	1,42	1,27	1,15
	$q_{Ed} (c \geq 1,5h)$	23,63	16,23	11,85	9,04	7,12	5,66	4,59	3,79	3,18	2,71	2,34	2,04	1,79	1,59	1,42	1,27	1,15
	$q_{Ek} (\delta \leq L/200)$	44,20	22,63	13,10	8,25	5,53	3,88	2,83	2,13	1,64	1,29	1,03	0,84	0,69	0,58	0,49	0,41	0,35
1,00	$q_{Ed} (c < 1,5h)$	28,14	19,24	13,99	10,64	8,26	6,53	5,29	4,37	3,67	3,13	2,70	2,35	2,06	1,83	1,63	1,46	1,32
	$q_{Ed} (c \geq 1,5h)$	28,14	19,24	13,99	10,64	8,26	6,53	5,29	4,37	3,67	3,13	2,70	2,35	2,06	1,83	1,63	1,46	1,32
	$q_{Ek} (\delta \leq L/200)$	50,78	26,00	15,05	9,48	6,35	4,46	3,25	2,44	1,88	1,48	1,18	0,96	0,79	0,66	0,56	0,47	0,41
1,25	$q_{Ed} (c < 1,5h)$	36,51	24,71	17,85	13,12	10,05	7,94	6,43	5,31	4,46	3,80	3,28	2,86	2,51	2,22	1,98	1,78	1,61
	$q_{Ed} (c \geq 1,5h)$	36,51	24,71	17,85	13,12	10,05	7,94	6,43	5,31	4,46	3,80	3,28	2,86	2,51	2,22	1,98	1,78	1,61
	$q_{Ek} (\delta \leq L/200)$	62,60	32,05	18,55	11,68	7,83	5,50	4,01	3,01	2,32	1,82	1,46	1,19	0,98	0,82	0,69	0,58	0,50

SPOJITÝ NOSNÍK SE TŘEMI SHODNÝMI POLI - SYMETRICKÝ PLECH



tN (mm)	g (kN/m ²)	rozpětí pole L [m]																
		1,00	1,25	1,50	1,75	2,00	2,25	2,50	2,75	3,00	3,25	3,50	3,75	4,00	4,25	4,50	4,75	5,00
0,55	$q_{Ed} (c < 1,5h)$	14,15	9,96	7,41	5,74	4,58	3,74	3,11	2,63	2,26	1,96	1,70	1,48	1,30	1,15	1,03	0,92	0,83
	$q_{Ed} (c \geq 1,5h)$	14,15	9,96	7,41	5,74	4,58	3,74	3,11	2,63	2,26	1,96	1,70	1,48	1,30	1,15	1,03	0,92	0,83
	$q_{Ek} (\delta \leq L/200)$	20,35	10,42	6,03	3,80	2,54	1,79	1,30	0,98	0,75	0,59	0,47	0,39	0,32	0,27	0,22	0,19	0,16
0,63	$q_{Ed} (c < 1,5h)$	17,60	12,31	9,11	7,03	5,59	4,55	3,78	3,19	2,72	2,32	2,00	1,74	1,53	1,36	1,21	1,09	0,98
	$q_{Ed} (c \geq 1,5h)$	17,60	12,31	9,11	7,03	5,59	4,55	3,78	3,19	2,72	2,32	2,00	1,74	1,53	1,36	1,21	1,09	0,98
	$q_{Ek} (\delta \leq L/200)$	23,79	12,18	7,05	4,44	2,97	2,09	1,52	1,14	0,88	0,69	0,55	0,45	0,37	0,31	0,26	0,22	0,19
0,75	$q_{Ed} (c < 1,5h)$	22,76	15,80	11,63	8,93	7,08	5,75	4,76	3,96	3,33	2,83	2,44	2,13	1,87	1,66	1,48	1,33	1,20
	$q_{Ed} (c \geq 1,5h)$	22,76	15,80	11,63	8,93	7,08	5,75	4,76	3,96	3,33	2,83	2,44	2,13	1,87	1,66	1,48	1,33	1,20
	$q_{Ek} (\delta \leq L/200)$	28,84	14,77	8,55	5,38	3,61	2,53	1,85	1,39	1,07	0,84	0,67	0,55	0,45	0,38	0,32	0,27	0,23
0,88	$q_{Ed} (c < 1,5h)$	28,57	19,71	14,44	11,04	8,72	7,06	5,73	4,74	3,98	3,39	2,92	2,55	2,24	1,98	1,77	1,59	1,43
	$q_{Ed} (c \geq 1,5h)$	28,57	19,71	14,44	11,04	8,72	7,06	5,73	4,74	3,98	3,39	2,92	2,55	2,24	1,98	1,77	1,59	1,43
	$q_{Ek} (\delta \leq L/200)$	34,36	17,59	10,18	6,41	4,29	3,02	2,20	1,65	1,27	1,00	0,80	0,65	0,54	0,45	0,38	0,32	0,27
1,00	$q_{Ed} (c < 1,5h)$	34,09	23,41	17,08	13,03	10,27	8,16	6,61	5,46	4,59	3,91	3,37	2,94	2,58	2,29	2,04	1,83	1,65
	$q_{Ed} (c \geq 1,5h)$	34,09	23,41	17,08	13,03	10,27	8,16	6,61	5,46	4,59	3,91	3,37	2,94	2,58	2,29	2,04	1,83	1,65
	$q_{Ek} (\delta \leq L/200)$	39,48	20,21	11,70	7,37	4,93	3,47	2,53	1,90	1,46	1,15	0,92	0,75	0,62	0,51	0,43	0,37	0,32
1,25	$q_{Ed} (c < 1,5h)$	44,42	30,19	21,87	16,40	12,56	9,92	8,04	6,64	5,58	4,76	4,10	3,57	3,14	2,78	2,48	2,23	2,01
	$q_{Ed} (c \geq 1,5h)$	44,42	30,19	21,87	16,40	12,56	9,92	8,04	6,64	5,58	4,76	4,10	3,57	3,14	2,78	2,48	2,23	2,01
	$q_{Ek} (\delta \leq L/200)$	48,66	24,92	14,42	9,08	6,08	4,27	3,11	2,34	1,80	1,42	1,13	0,92	0,76	0,63	0,53	0,45	0,39

Tab. 1.16 Přípustná zatížení pro vaznice Z s profilovanou stojinou

PROFIL		PROSTÝ NOSNÍK									SPOJITÝ NOSNÍK S PŘESAHY - min. 3 POLE								
Z 200																			
Rozpětí L [m]		5.00	5.50	5.75	6.00	6.25	6.50	7.00	7.50	8.00	5.00	5.50	6.00	6.50	7.00	7.50	8.00	8.50	9.00
Z 200 t = 1,5mm 4,90 kg/m	1	2.89	2.37	2.16	1.98	1.82	1.67	-	-	-	4.46	3.46	2.77	2.28	1.91	-	-	-	-
	2	-	-	-	-	-	-	-	-	-	2.54	1.98	-	-	-	-	-	-	-
	3	-2.07	-1.69	-1.53	-1.40	-1.28	-1.18	-	-	-	-3.32	-2.70	-2.24	-1.88	-1.61	-	-	-	-
	4	-1.38	-1.11	-1.00	-0.91	-0.83	-0.76	-	-	-	-2.26	-1.82	-1.49	-1.25	-1.05	-	-	-	-
	5	1.99	1.49	1.31	1.15	1.02	-	-	-	-	4.82	3.62	2.79	2.20	1.33	-	-	-	-
Z 200 t = 2,0mm 6,50 kg/m	1	4.32	3.55	3.24	2.97	2.73	2.51	2.15	1.86	-	6.69	5.21	4.20	3.47	2.92	2.49	2.15	1.88	-
	2	2.88	2.26	2.01	1.80	-	-	-	-	-	4.59	3.63	2.89	2.33	1.88	-	-	-	-
	3	-3.14	-2.57	-2.34	-2.13	-1.96	-1.80	-1.53	-1.32	-	-4.95	-4.06	-3.38	-2.86	-2.44	-2.11	-1.84	-1.61	-
	4	-2.47	-2.01	-1.82	-1.66	-1.52	-1.39	-1.18	-1.01	-	-3.95	-3.21	-2.66	-2.24	-1.91	-1.62	-1.33	-1.09	-
	5	2.85	2.14	1.87	1.64	1.44	1.28	1.01	-	-	5.33	4.00	3.08	2.43	1.94	1.58	1.30	1.07	-
Z 200 t = 2,5mm 8,10 kg/m	1	5.74	4.72	4.31	3.95	3.63	3.34	2.86	2.48	2.16	8.84	6.89	5.56	4.60	3.87	3.31	2.86	2.50	2.20
	2	4.22	3.35	2.99	2.68	2.41	2.16	1.75	-	-	6.69	5.33	4.29	3.49	2.85	2.33	1.91	-	-
	3	-4.02	-3.29	-3.00	-2.74	-2.51	-2.31	-1.97	-1.69	-1.47	-6.32	-5.18	-4.33	-3.66	-3.13	-2.71	-2.36	-2.07	-1.83
	4	-3.38	-2.76	-2.51	-2.29	-2.10	-1.92	-1.63	-1.40	-1.21	-5.36	-4.38	-3.64	-3.08	-2.62	-2.26	-1.97	-1.70	-1.41
	5	3.64	2.74	2.38	2.09	1.84	1.63	1.29	1.03	-	6.80	5.11	3.93	3.10	2.48	2.02	1.65	1.37	1.14
Z 250																			
Rozpětí L [m]		5.00	5.50	6.00	6.50	7.00	7.50	8.00	8.50	9.00	5.00	6.00	6.50	7.00	7.50	8.00	8.50	9.00	9.50
Z 250 t = 2,0mm 7,80 kg/m	1	5.88	4.84	4.04	3.43	2.94	2.54	2.22	1.95	1.73	8.47	5.22	4.29	3.60	3.07	2.65	2.32	2.05	1.82
	2	4.29	3.45	2.81	2.32	1.93	-	-	-	-	6.82	4.28	3.50	2.93	2.50	2.16	1.88	-	-
	3	-4.21	-3.43	-2.85	-2.41	-2.05	-1.77	-1.54	-1.34	-1.19	-6.81	-4.56	-3.84	-3.28	-2.83	-2.46	-2.16	-1.91	-1.70
	4	-3.31	-2.68	-2.22	-1.86	-1.58	-1.35	-1.17	-1.02	-0.90	-5.45	-3.60	-3.01	-2.56	-2.20	-1.90	-1.66	-1.47	-1.30
	5	5.01	3.76	2.90	2.08	1.78	1.48	1.20	-	-	9.58	5.54	4.36	3.49	2.84	2.34	1.95	1.64	1.40
Z 250 t = 2,5mm 9,70 kg/m	1	7.95	6.55	5.47	4.64	3.98	3.45	3.01	2.65	2.34	11.37	7.07	5.82	4.90	4.19	3.64	3.19	2.82	2.51
	2	6.31	5.10	4.19	3.47	2.90	2.45	2.07	1.76	-	9.91	6.16	5.07	4.26	3.64	3.15	2.76	2.44	2.10
	3	-5.71	-4.68	-3.90	-3.29	-2.81	-2.43	-2.11	-1.85	-1.63	-9.12	-6.17	-5.21	-4.46	-3.86	-3.37	-2.96	-2.62	-2.33
	4	-4.85	-3.96	-3.29	-2.77	-2.36	-2.03	-1.76	-1.54	-1.35	-7.82	-5.25	-4.42	-3.77	-3.25	-2.83	-2.48	-2.19	-1.95
	5	6.55	4.92	3.79	2.81	2.39	1.92	1.57	1.29	1.07	12.56	7.27	5.72	4.58	3.72	3.07	2.56	2.15	1.83
Z 300																			
Rozpětí L [m]		6.00	6.50	7.00	7.50	8.00	8.50	9.00	9.50	10.00	6.00	6.50	7.00	7.50	8.00	8.50	9.00	9.50	10.00
Z 300 t = 2,0mm 8,90 kg/m	1	5.21	4.41	3.79	3.28	2.86	2.52	2.23	1.99	1.78	6.32	5.17	4.33	3.68	3.16	2.76	2.43	2.15	1.92
	2	3.83	3.19	2.69	2.28	1.95	1.67	-	-	-	5.12	4.18	3.48	2.96	2.55	2.21	1.95	1.72	-
	3	-3.37	-2.83	-2.41	-2.07	-1.80	-1.58	-1.39	-1.23	-1.10	-5.51	-4.59	-3.89	-3.34	-2.90	-2.54	-2.24	-1.99	-1.78
	4	-2.57	-2.15	-1.82	-1.55	-1.34	-1.17	-1.02	-0.90	-0.80	-4.31	-3.56	-2.99	-2.55	-2.20	-1.92	-1.69	-1.49	-1.33
	5	4.48	3.53	2.82	2.30	1.89	1.58	1.33	1.12	-	8.85	6.96	5.58	4.54	3.75	3.13	2.64	2.25	1.93
Z 300 t = 2,5mm 11,10 kg/m	1	7.06	5.98	5.13	4.45	3.89	3.42	3.03	2.70	2.42	8.65	7.09	5.93	5.05	4.36	3.81	3.37	3.00	2.69
	2	5.65	4.73	4.00	3.41	2.93	2.53	2.19	1.91	1.67	7.50	6.15	5.14	4.37	3.77	3.29	2.90	2.58	2.31
	3	-4.72	-3.98	-3.40	-2.94	-2.56	-2.24	-1.98	-1.76	-1.57	-7.58	-6.36	-5.42	-4.67	-4.07	-3.58	-3.17	-2.82	-2.53
	4	-3.95	-3.32	-2.83	-2.43	-2.11	-1.84	-1.62	-1.44	-1.28	-6.43	-5.37	-4.55	-3.91	-3.40	-2.98	-2.63	-2.33	-2.08
	5	5.90	4.64	3.72	3.02	2.49	2.08	1.74	1.46	1.24	11.58	9.11	7.30	5.94	4.90	4.1	3.46	2.95	2.53

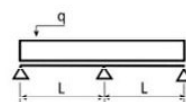
Hacierco 55/250

negativní poloha plechu

Vysvětlivky

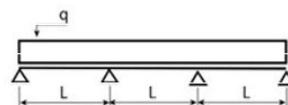
$q_{Ed} (c < 1,5h)$	návrhová hodnota únosnosti: krajní podpora šířky min. 40 mm s přesahem plechu 40 mm za podporu, vnitřní podpora šířky min. 120 mm [kN/m ²]
$q_{Ed} (c \geq 1,5h)$	návrhová hodnota únosnosti: krajní podpora šířky min. 40 mm s přesahem plechu 1,5 x výška plechu za podporu, vnitřní podpora šířky min. 120 mm [kN/m ²]
$q_{Ek} (\delta \leq L/200)$	charakteristická hodnota zatížení pro deformaci L/200 [kN/m ²]

SPOJITÝ NOSNÍK SE DVĚMA SHODNÝMI POLI - NEGATIVNÍ POLOHA PLECHU



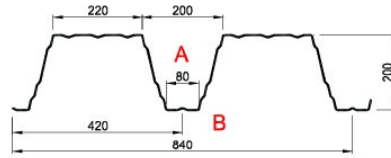
tN (mm)	g (kN/m ²)	rozpětí pole L [m]																
		1,00	1,25	1,50	1,75	2,00	2,25	2,50	2,75	3,00	3,25	3,50	3,75	4,00	4,25	4,50	4,75	5,00
0,55	$q_{Ed} (c < 1,5h)$	8,95	6,80	5,19	4,10	3,33	2,76	2,33	1,99	1,72	1,51	1,33	1,18	1,06	0,95	0,86	0,78	0,71
	$q_{Ed} (c \geq 1,5h)$	9,37	6,80	5,19	4,10	3,33	2,76	2,33	1,99	1,72	1,51	1,33	1,18	1,06	0,95	0,86	0,78	0,71
	$q_{Ek} (\delta \leq L/200)$	40,16	25,17	14,57	9,17	6,15	4,32	3,15	2,36	1,82	1,43	1,15	0,93	0,77	0,64	0,54	0,46	0,39
0,63	$q_{Ed} (c < 1,5h)$	11,73	8,54	6,50	5,13	4,15	3,44	2,90	2,47	2,14	1,87	1,65	1,46	1,31	1,17	1,06	0,97	0,88
	$q_{Ed} (c \geq 1,5h)$	11,79	8,54	6,50	5,13	4,15	3,44	2,90	2,47	2,14	1,87	1,65	1,46	1,31	1,17	1,06	0,97	0,88
	$q_{Ek} (\delta \leq L/200)$	58,59	30,00	17,36	10,93	7,37	5,14	3,75	2,82	2,17	1,71	1,37	1,11	0,92	0,76	0,64	0,55	0,47
0,75	$q_{Ed} (c < 1,5h)$	15,43	11,09	8,39	6,59	5,32	4,38	3,68	3,13	2,70	2,36	2,07	1,84	1,64	1,47	1,33	1,21	1,09
	$q_{Ed} (c \geq 1,5h)$	15,43	11,09	8,39	6,59	5,32	4,38	3,68	3,13	2,70	2,36	2,07	1,84	1,64	1,47	1,33	1,21	1,09
	$q_{Ek} (\delta \leq L/200)$	73,24	37,50	21,70	13,67	9,16	6,43	4,69	3,52	2,71	2,13	1,71	1,39	1,14	0,95	0,80	0,68	0,59
0,88	$q_{Ed} (c < 1,5h)$	19,73	14,08	10,59	8,27	6,65	5,46	4,57	3,88	3,34	2,91	2,55	2,26	2,01	1,80	1,61	1,44	1,30
	$q_{Ed} (c \geq 1,5h)$	19,73	14,08	10,59	8,27	6,65	5,46	4,57	3,88	3,34	2,91	2,55	2,26	2,01	1,80	1,61	1,44	1,30
	$q_{Ek} (\delta \leq L/200)$	89,66	45,90	26,56	16,73	11,21	7,87	5,74	4,31	3,32	2,61	2,09	1,70	1,40	1,17	0,98	0,84	0,72
1,00	$q_{Ed} (c < 1,5h)$	24,00	17,02	12,74	9,91	7,93	6,50	5,43	4,60	3,95	3,43	3,01	2,66	2,34	2,07	1,85	1,66	1,50
	$q_{Ed} (c \geq 1,5h)$	24,00	17,02	12,74	9,91	7,93	6,50	5,43	4,60	3,95	3,43	3,01	2,66	2,34	2,07	1,85	1,66	1,50
	$q_{Ek} (\delta \leq L/200)$	105,15	53,84	31,15	19,62	13,14	9,23	6,73	5,06	3,89	3,06	2,45	1,99	1,64	1,37	1,15	0,98	0,84
1,25	$q_{Ed} (c < 1,5h)$	33,79	23,69	17,56	13,56	10,79	8,80	7,31	6,18	5,29	4,53	3,90	3,40	2,99	2,65	2,36	2,12	1,91
	$q_{Ed} (c \geq 1,5h)$	33,79	23,69	17,56	13,56	10,79	8,80	7,31	6,18	5,29	4,53	3,90	3,40	2,99	2,65	2,36	2,12	1,91
	$q_{Ek} (\delta \leq L/200)$	136,07	69,67	40,32	25,39	17,01	11,95	8,71	6,54	5,04	3,96	3,17	2,58	2,13	1,77	1,49	1,27	1,09

SPOJITÝ NOSNÍK SE TŘEMI SHODNÝMI POLI - NEGATIVNÍ POLOHA PLECHU



tN (mm)	g (kN/m ²)	rozpětí pole L [m]																
		1,00	1,25	1,50	1,75	2,00	2,25	2,50	2,75	3,00	3,25	3,50	3,75	4,00	4,25	4,50	4,75	5,00
0,55	$q_{Ed} (c < 1,5h)$	8,39	6,71	5,60	4,80	4,00	3,32	2,81	2,41	2,09	1,83	1,61	1,44	1,29	1,16	1,05	0,96	0,87
	$q_{Ed} (c \geq 1,5h)$	11,05	8,07	6,18	4,91	4,00	3,32	2,81	2,41	2,09	1,83	1,61	1,44	1,29	1,16	1,05	0,96	0,87
	$q_{Ek} (\delta \leq L/200)$	38,21	19,57	11,32	7,13	4,78	3,35	2,45	1,84	1,42	1,11	0,89	0,72	0,60	0,50	0,42	0,36	0,31
0,63	$q_{Ed} (c < 1,5h)$	11,00	8,80	7,33	6,14	4,99	4,14	3,50	2,99	2,59	2,27	2,00	1,78	1,59	1,43	1,30	1,18	1,08
	$q_{Ed} (c \geq 1,5h)$	13,93	10,14	7,75	6,14	4,99	4,14	3,50	2,99	2,59	2,27	2,00	1,78	1,59	1,43	1,30	1,18	1,08
	$q_{Ek} (\delta \leq L/200)$	45,54	23,32	13,49	8,50	5,69	4,00	2,91	2,19	1,69	1,33	1,06	0,86	0,71	0,59	0,50	0,42	0,36
0,75	$q_{Ed} (c < 1,5h)$	15,63	12,50	10,04	7,91	6,40	5,29	4,45	3,80	3,28	2,87	2,52	2,24	2,00	1,80	1,63	1,48	1,35
	$q_{Ed} (c \geq 1,5h)$	18,29	13,22	10,04	7,91	6,40	5,29	4,45	3,80	3,28	2,87	2,52	2,24	2,00	1,80	1,63	1,48	1,35
	$q_{Ek} (\delta \leq L/200)$	56,93	29,15	16,87	10,62	7,12	5,00	3,64	2,74	2,11	1,66	1,33	1,08	0,89	0,74	0,62	0,53	0,46
0,88	$q_{Ed} (c < 1,5h)$	21,72	16,83	12,71	9,96	8,03	6,62	5,55	4,72	4,07	3,54	3,11	2,76	2,46	2,21	2,00	1,81	1,63
	$q_{Ed} (c \geq 1,5h)$	23,46	16,83	12,71	9,96	8,03	6,62	5,55	4,72	4,07	3,54	3,11	2,76	2,46	2,21	2,00	1,81	1,63
	$q_{Ek} (\delta \leq L/200)$	69,69	35,68	20,65	13,00	8,71	6,12	4,46	3,35	2,58	2,03	1,63	1,32	1,09	0,91	0,76	0,65	0,56
1,00	$q_{Ed} (c < 1,5h)$	28,44	20,39	15,33	11,96	9,61	7,89	6,60	5,61	4,82	4,19	3,68	3,25	2,90	2,59	2,31	2,08	1,87
	$q_{Ed} (c \geq 1,5h)$	28,61	20,39	15,33	11,96	9,61	7,89	6,60	5,61	4,82	4,19	3,68	3,25	2,90	2,59	2,31	2,08	1,87
	$q_{Ek} (\delta \leq L/200)$	81,73	41,85	24,22	15,25	10,22	7,18	5,23	3,93	3,03	2,38	1,91	1,55	1,28	1,06	0,90	0,76	0,65
1,25	$q_{Ed} (c < 1,5h)$	40,48	28,52	21,23	16,45	13,13	10,73	8,93	7,56	6,48	5,61	4,88	4,25	3,74	3,31	2,95	2,65	2,39
	$q_{Ed} (c \geq 1,5h)$	40,48	28,52	21,23	16,45	13,13	10,73	8,93	7,56	6,48	5,61	4,88	4,25	3,74	3,31	2,95	2,65	2,39
	$q_{Ek} (\delta \leq L/200)$	105,77	54,16	31,34	19,74	13,22	9,29	6,77	5,09	3,92	3,08	2,47	2,01	1,65	1,38	1,16	0,99	0,85

TR 200/420 pozitivní



dle ČSN EN 1993-1-3: 2010

$\gamma_{MO} = 1,00$

Deformace = L/200

t _N [mm]		g [kg/m ²]		Připustné rovnoměrné zatížení [kN/m ²]																			
				Rozpětí [m]																			
				5,00	5,25	5,50	5,75	6,00	6,25	6,50	6,75	7,00	7,25	7,50	7,75	8,00	8,25	8,50	8,75	9,00	9,25	9,50	9,75
0,75	10,71	q _{n1}	4,09	3,71	3,38	3,09	2,84	2,62	2,42	2,24	2,08	1,94	1,82	1,70	1,60	1,50	1,41	1,33	1,26	1,19	1,13	1,07	1,02
		q _{n2}	1,57	1,49	1,43	1,36	1,31	1,26	1,21	1,16	1,12	1,08	1,05	1,01	0,98	0,95	0,92	0,90	0,87	0,85	0,83	0,80	0,78
		q _k	3,42	2,95	2,57	2,25	1,98	1,75	1,56	1,39	1,25	1,12	1,01	0,92	0,83	0,76	0,70	0,64	0,59	0,54	0,50	0,46	0,43
0,88	12,57	q _{n1}	5,23	4,74	4,32	3,95	3,63	3,35	3,09	2,87	2,67	2,49	2,32	2,18	2,04	1,92	1,81	1,71	1,61	1,53	1,45	1,38	1,31
		q _{n2}	2,31	2,20	2,10	2,01	1,93	1,85	1,78	1,71	1,65	1,60	1,54	1,49	1,45	1,40	1,36	1,32	1,29	1,25	1,22	1,19	1,16
		q _k	4,14	3,57	3,11	2,72	2,39	2,12	1,88	1,68	1,51	1,36	1,23	1,11	1,01	0,92	0,84	0,77	0,71	0,65	0,60	0,56	0,52
1,00	14,29	q _{n1}	6,10	5,53	5,04	4,61	4,24	3,90	3,61	3,35	3,11	2,90	2,71	2,54	2,38	2,24	2,11	1,99	1,88	1,78	1,69	1,60	1,53
		q _{n2}	3,18	3,03	2,89	2,77	2,65	2,54	2,45	2,36	2,27	2,19	2,12	2,05	1,99	1,93	1,87	1,82	1,77	1,72	1,67	1,60	1,53
		q _k	4,76	4,11	3,58	3,13	2,75	2,44	2,17	1,93	1,72	1,56	1,41	1,28	1,16	1,06	0,97	0,89	0,82	0,75	0,69	0,64	0,60
1,13	16,14	q _{n1}	7,07	6,42	5,85	5,35	4,91	4,53	4,19	3,88	3,61	3,36	3,14	2,94	2,76	2,60	2,45	2,31	2,18	2,07	1,96	1,86	1,77
		q _{n2}	4,11	3,91	3,73	3,57	3,42	3,29	3,16	3,04	2,93	2,83	2,74	2,65	2,57	2,49	2,42	2,31	2,18	2,07	1,96	1,86	1,77
		q _k	5,42	4,68	4,07	3,56	3,13	2,77	2,47	2,20	1,97	1,78	1,61	1,45	1,32	1,21	1,10	1,01	0,93	0,86	0,79	0,73	0,68
1,25	17,86	q _{n1}	8,05	7,30	6,65	6,09	5,59	5,15	4,76	4,42	4,11	3,83	3,58	3,35	3,14	2,96	2,78	2,63	2,48	2,35	2,23	2,12	2,01
		q _{n2}	5,06	4,82	4,60	4,40	4,22	4,05	3,89	3,75	3,61	3,49	3,37	3,26	3,14	2,96	2,78	2,63	2,48	2,35	2,23	2,12	2,01
		q _k	6,00	5,18	4,51	3,94	3,47	3,07	2,73	2,44	2,19	1,97	1,78	1,61	1,46	1,34	1,22	1,12	1,03	0,95	0,87	0,81	0,75
1,50	21,43	q _{n1}	10,66	9,67	8,81	8,06	7,40	6,82	6,31	5,85	5,44	5,07	4,74	4,44	4,16	3,91	3,69	3,48	3,29	3,11	2,95	2,80	2,66
		q _{n2}	5,42	5,16	4,93	4,72	4,52	4,34	4,17	4,02	3,87	3,74	3,61	3,50	3,39	3,29	3,19	3,10	3,01	2,93	2,85	2,78	2,66
		q _k	7,24	6,25	5,44	4,76	4,19	3,70	3,29	2,94	2,64	2,37	2,14	1,94	1,77	1,61	1,47	1,35	1,24	1,14	1,05	0,98	0,90

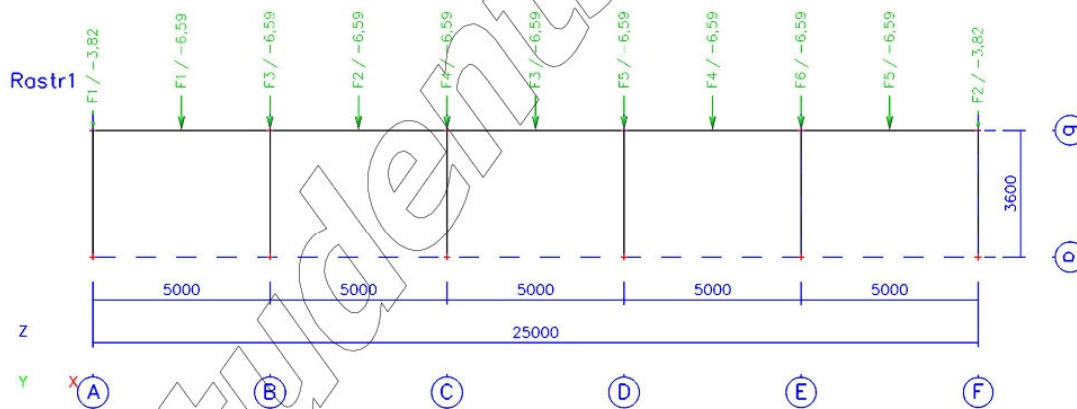
t _N [mm]		g [kg/m ²]		Rozpětí [m]																			
				Rozpětí [m]																			
				5,00	5,25	5,50	5,75	6,00	6,25	6,50	6,75	7,00	7,25	7,50	7,75	8,00	8,25	8,50	8,75	9,00	9,25	9,50	9,75
0,75	10,71	q _{n1}	3,02	2,81	2,62	2,45	2,29	2,15	2,03	1,91	1,80	1,71	1,62	1,54	1,46	1,39	1,32	1,26	1,21	1,15	1,10	1,06	1,01
		q _{n2}	2,09	1,99	1,90	1,82	1,74	1,67	1,61	1,55	1,49	1,44	1,39	1,32	1,26	1,20	1,15	1,10	1,05	1,01	0,96	0,93	0,89
		q _k	8,23	7,11	6,19	5,41	4,76	4,22	3,75	3,35	3,00	2,70	2,44	2,21	2,01	1,83	1,68	1,54	1,41	1,30	1,20	1,11	1,03
0,88	12,57	q _{n1}	4,10	3,81	3,54	3,31	3,09	2,90	2,73	2,57	2,42	2,29	2,17	2,05	1,95	1,85	1,76	1,68	1,60	1,53	1,47	1,40	1,35
		q _{n2}	3,09	2,94	2,81	2,68	2,57	2,47	2,33	2,20	2,08	1,97	1,87	1,78	1,69	1,61	1,54	1,47	1,41	1,35	1,29	1,24	1,19
		q _k	9,96	8,61	7,49	6,55	5,77	5,10	4,54	4,05	3,63	3,27	2,95	2,68	2,43	2,22	2,03	1,86	1,71	1,57	1,45	1,34	1,25
1,00	14,29	q _{n1}	5,20	4,82	4,48	4,17	3,90	3,65	3,43	3,22	3,04	2,87	2,71	2,57	2,43	2,31	2,20	2,09	2,00	1,90	1,82	1,74	1,67
		q _{n2}	4,24	4,04	3,80	3,55	3,33	3,13	2,95	2,78	2,63	2,49	2,36	2,24	2,13	2,03	1,93	1,85	1,76	1,69	1,62	1,55	1,49
		q _k	11,47	9,91	8,62	7,54	6,64	5,87	5,22	4,66	4,18	3,76	3,40	3,08	2,80	2,55	2,33	2,14	1,97	1,81	1,67	1,55	1,43
1,13	16,14	q _{n1}	6,28	5,81	5,40	5,02	4,69	4,38	4,11	3,86	3,64	3,43	3,24	3,07	2,91	2,76	2,62	2,49	2,38	2,27	2,16	2,07	1,98
		q _{n2}	5,31	4,94	4,60	4,30	4,03	3,78	3,56	3,35	3,17	3,00	2,84	2,69	2,56	2,44	2,32	2,21	2,11	2,02	1,93	1,85	1,78
		q _k	13,05	11,27	9,80	8,58	7,55	6,68	5,94	5,30	4,76	4,28	3,87	3,50	3,19	2,90	2,66	2,43	2,24	2,06	1,90	1,76	1,63
1,25	17,86	q _{n1}	7,31	6,76	6,27	5,83	5,43	5,08	4,76	4,47	4,20	3,96	3,74	3,54	3,35	3,18	3,02	2,87	2,73	2,61	2,49	2,38	2,27
		q _{n2}	6,21	5,77	5,37	5,01	4,69	4,40	4,14	3,90	3,68	3,48	3,29	3,12	2,96	2,82	2,68	2,56	2,44	2,33	2,23	2,14	2,05
		q _k	14,45	12,48	10,85	9,50	8,36	7,40	6,58	5,87	5,26	4,74	4,28	3,88	3,53	3,22	2,94	2,70	2,48	2,28	2,11	1,95	1,81
1,50	21,43	q _{n1}	8,24	7,64	7,10	6,61	6,18	5,79	5,43	5,11	4,81	4,54	4,30	4,07	3,86	3,67	3,49	3,32	3,17	3,02	2,89	2,76	2,65
		q _{n2}	6,97	6,49	6,05	5,66	5,31	4,99	4,70	4,43	4,19	3,97	3,76	3,57	3,40	3,23	3,08	2,94	2,81	2,69	2,58	2,47	2,37
		q _k	17,43	15,06	13,10	11,46	10,09	8,92	7,93	7,08	6,35	5,72	5,16	4,68	4,26	3,88	3,55	3,25	2,99	2,75	2,54	2,35	2,18

t _N [mm]		g [kg/m ²]		Rozpětí [m]																			
				Rozpětí [m]																			
				5,00	5,25	5,50	5,75	6,00	6,25	6,50	6,75	7,00	7,25	7,50	7,75	8,00	8,25	8,50	8,75	9,00	9,25	9,50	9,75
0,75	10,71	q _{n1}	3,61	3,36	3,14	2,94	2,75	2,59	2,44	2,30	2,18	2,06	1,95	1,86	1,76	1,68	1,60	1,53	1,46	1,40	1,34	1,28	1,23
		q _{n2}	1,96	1,87	1,78	1,71	1,63	1,57	1,51	1,45	1,40	1,35	1,31	1,27	1,23	1,19	1,15	1,12	1,09	1,06	1,03	1,01	0,98
		q _k	6,50	5,61	4,88	4,27	3,76	3,33	2,96	2,64	2,37	2,13	1,93	1,74	1,59	1,45	1,32	1,21	1,11	1,03	0,95	0,88	0,81
0,88	12,57	q _{n1}	4,93	4,58	4,27	3,99	3,73	3,50	3,29	3,10	2,93	2,77	2,63	2,49	2,37	2,25	2,14	2,04	1,95	1,87	1,78	1,71	1,64
		q _{n2}	2,89	2,76	2,63	2,52	2,41	2,31	2,23	2,14	2,07	2,00	1,93	1,87	1,81	1,75	1,70	1,65	1,61	1,56	1,52	1,48	1,44
		q _k	7,86	6,79	5,91	5,17	4,55	4,03	3,58	3,20	2,87	2,58	2,33	2,11	1,92	1,75	1,60	1,47	1,35	1,24	1,15	1,06	0,98
1,00	14,29	q _{n1}	6,28	5,82	5,41	5,05	4,72	4,42	4,15	3,91	3,69	3,48	3,29	3,12	2,96	2,82	2,68	2,55	2,43	2,32	2,22	2,13	2,04
		q _{n2}	3,98	3,79	3,61	3,46	3,31	3,18	3,06	2,94	2,84	2,74	2,65	2,56	2,48	2,41	2,33	2,23	2,13	2,04	1,95	1,87	1,80
		q _k	9,05	7,82	6,80	5,95	5,24	4,63	4,12	3,68	3,30	2,97	2,68	2,43	2,21	2,01	1,84	1,69	1,55	1,43	1,32	1,22	1,13
1,13	16,14	q _{n1}	7,60	7,04	6,54	6,09	5,69	5,33	5,00	4,70	4,43	4,18	3,95	3,74	3,55	3,37	3,20	3,05	2,91	2,77	2,65	2,53	2,43
		q _{n2}	5,13	4,89	4,67	4,46	4,28	4,11	3,95	3,80	3,67	3,54	3,42	3,25	3,09	2,94	2,80	2,68	2,56	2,45	2,34	2,24	2,15
		q _k	10,30	8,90	7,74	6,77	5,96	5,27	4,69	4,19	3,75	3,38	3,05	2,77	2,51	2,29	2,10	1,92	1,77	1,63	1,50	1,39	1,29
1,25	17,86	q _{n1}	8,87	8,21	7,62	7,09	6,61	6,19	5,80	5,45	5,13	4,84	4,57	4,32	4,10	3,89	3,69	3,52	3,35	3,19	3,05	2,92	2,79
		q _{n2}	6,32	6,02	5,75	5,50	5,27	5,06	4,86	4,68	4,43	4,19	3,97	3,77	3,58	3,41	3,25	3,10	2,96	2,83	2,71	2,59	2,49
		q _k	11,40	9,																			

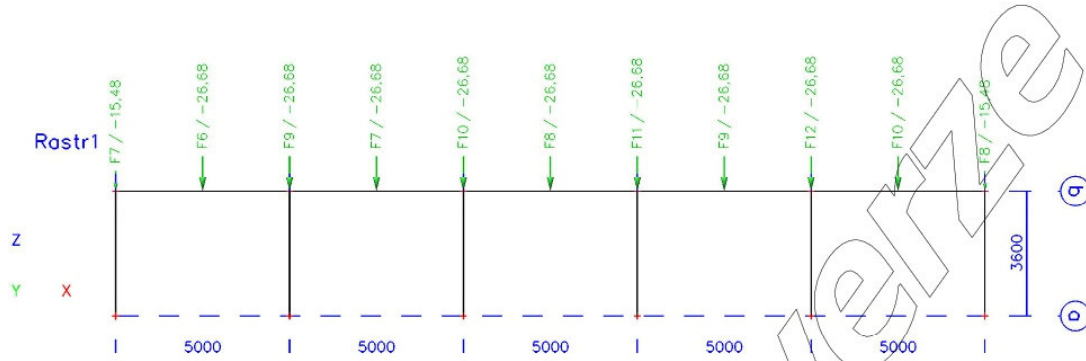
1. Kombinace

Jméno	Typ	Zatěžovací stavy	Souč. [-]
<i>*Studentská verze* *Studentská verze* *Studentská verze* *Studentská verze* *Studentská v</i>			
Vlastní tíha+sníh	Lineární - únosnost	Vlastní tíha	1,35
		Vlastní tíha ostatní	1,35
		Sníh	1,50
min. vlastní tíha+vitr příčný	Lineární - únosnost	Vlastní tíha	1,00
		Vlastní tíha ostatní	1,00
		Vitr příčný	1,50
min. vlastní tíha+vitr podélný	Lineární - únosnost	Vlastní tíha	1,00
		Vlastní tíha ostatní	1,00
		Vitr podélný	1,50
vlastní tíha+sníh+0,6vitr příčný	Lineární - únosnost	Vlastní tíha	1,35
		Vlastní tíha ostatní	1,35
		Sníh	1,50
		Vitr příčný	0,90
vlastní tíha+sníh+0,6vitr podélný	Lineární - únosnost	Vlastní tíha	1,35
		Vlastní tíha ostatní	1,35
		Sníh	1,50
		Vitr podélný	0,90
vlastní tíha+0,6sníh+vitr příčný	Lineární - únosnost	Vlastní tíha	1,35
		Vlastní tíha ostatní	1,35
		Sníh	0,90
		Vitr příčný	1,50

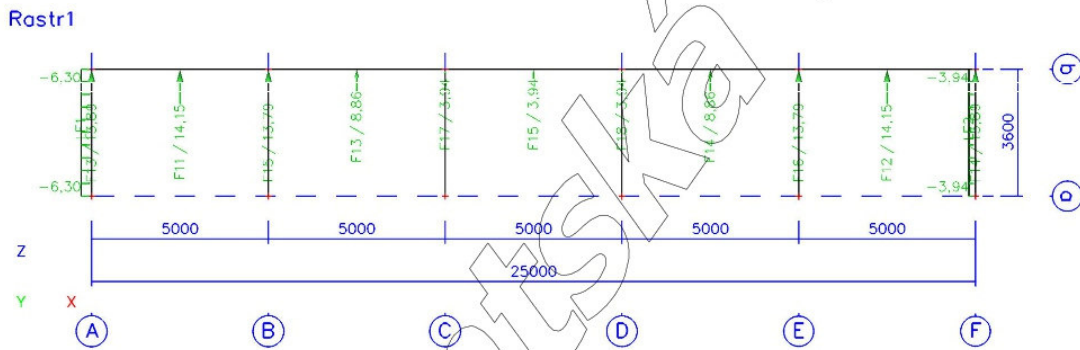
2. Vlastní tíha ostatní



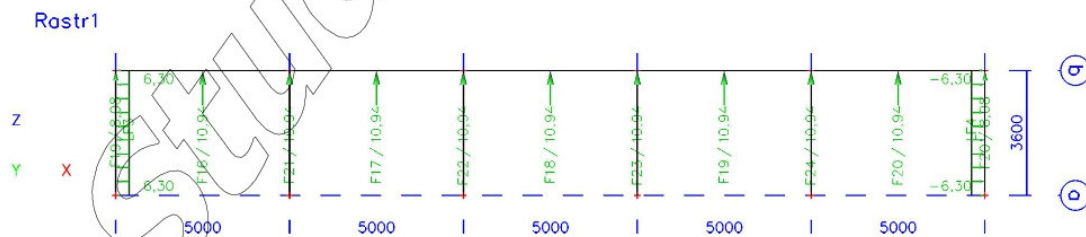
3. Snih



4. Vítr příčný

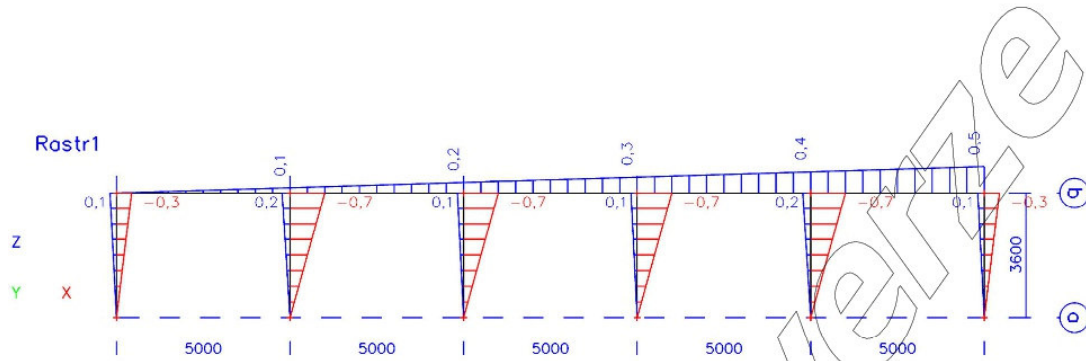


5. Vítr podélný

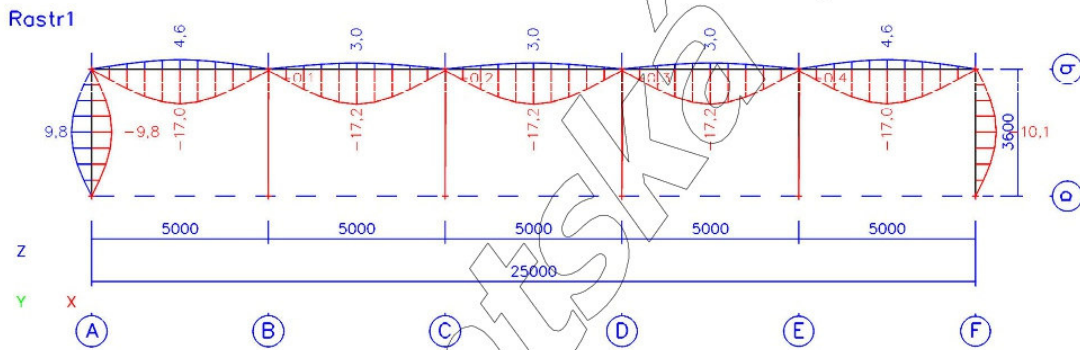


Studentská verze *Studentská verze*

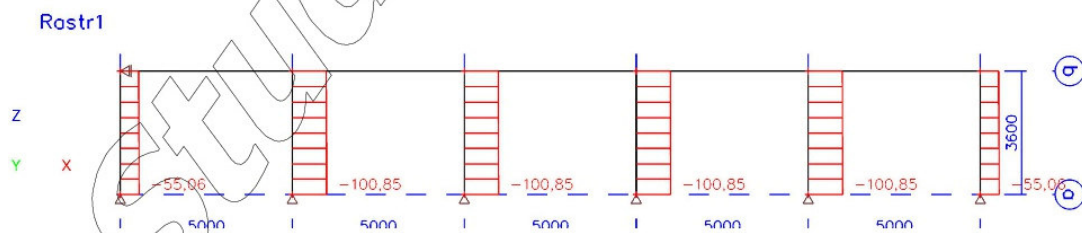
6. Deformace na prutu; ux



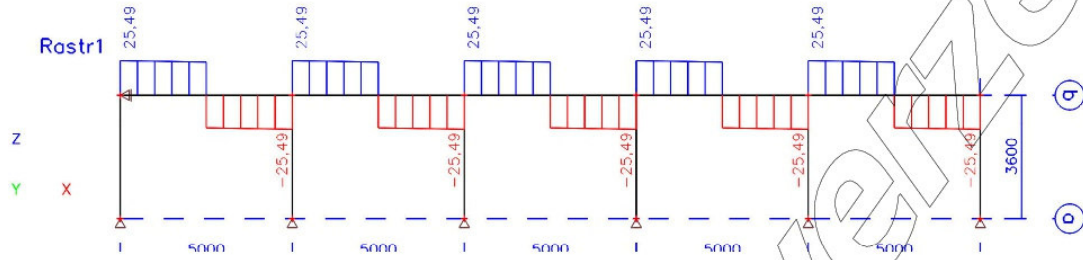
7. Deformace na prutu; uz



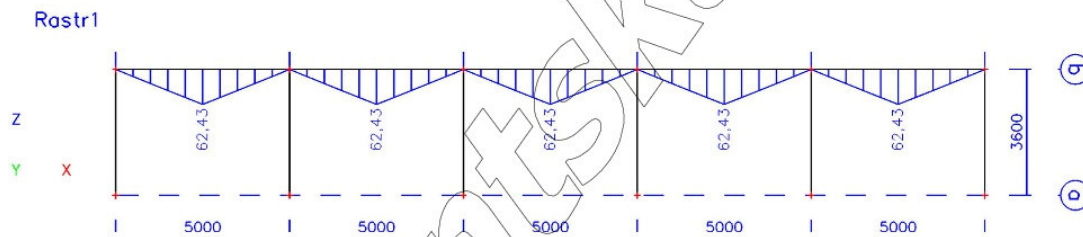
8. N,(Kombinace č.1) vlastní tíha +sníh



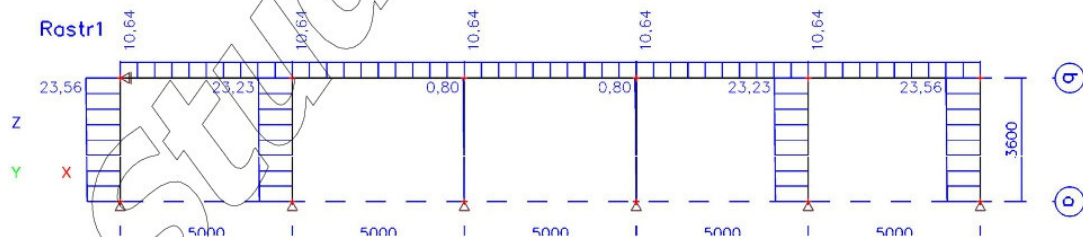
9. Vz,(Kombinace č.1) vlastní tíha +sníh



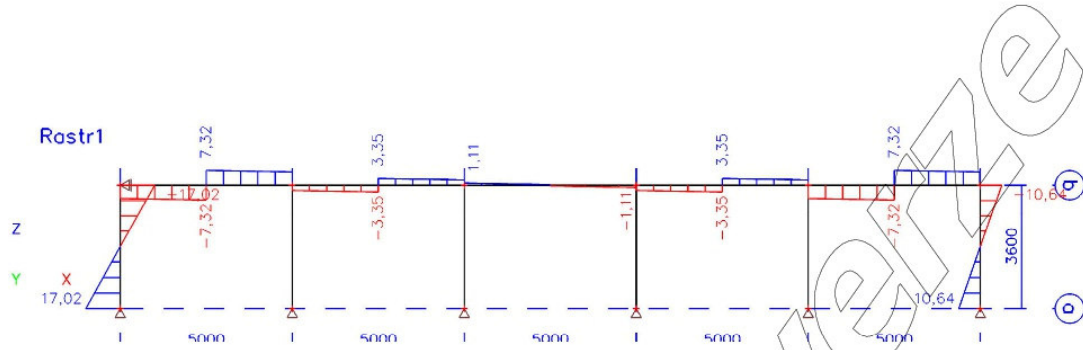
10. My,(Kombinace č.1), (vlastní tíha+sníh)



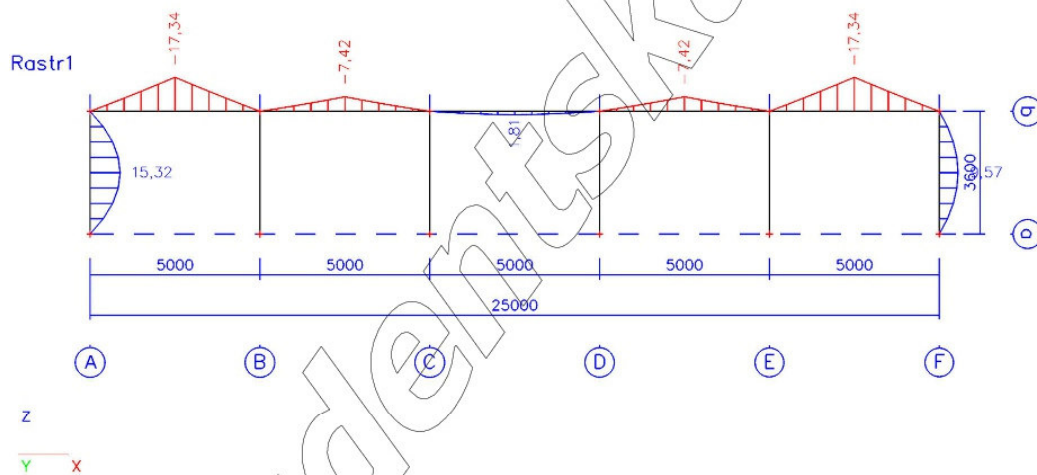
11. N,(Kombinace č.2), min vlastní tíha +vítr příčný



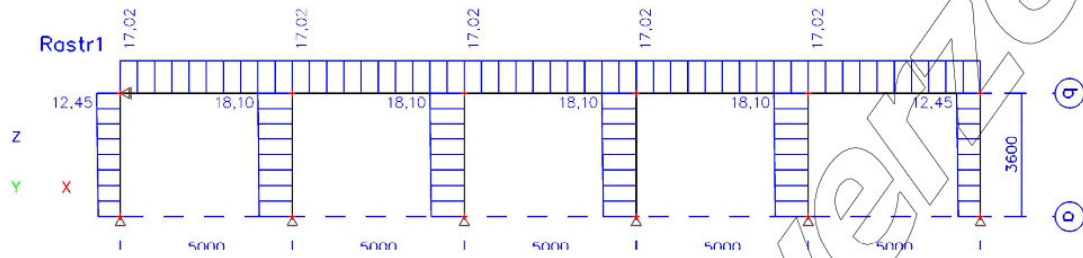
12. Vz,(Kombinace č.2), min. vlastní tíha + vítr příčný



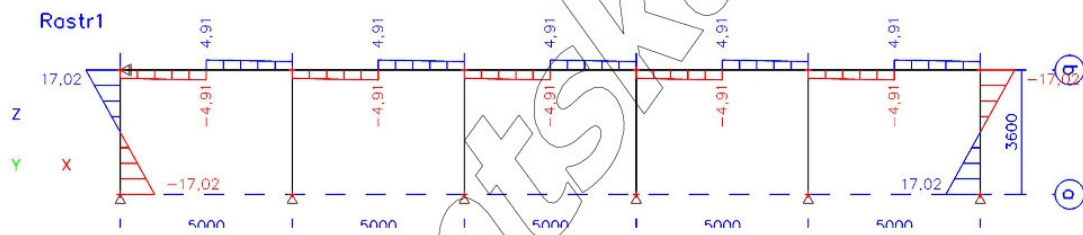
13. My,(Kombinace č.2), min. vlastní tíha+ vítr příčný



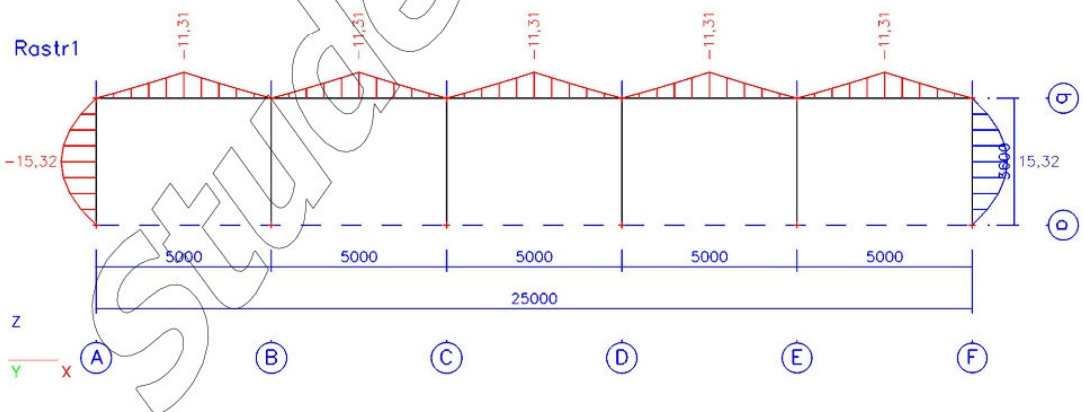
14. N,(Kombinace č.3), min vlastní tíha+ vítr podélný



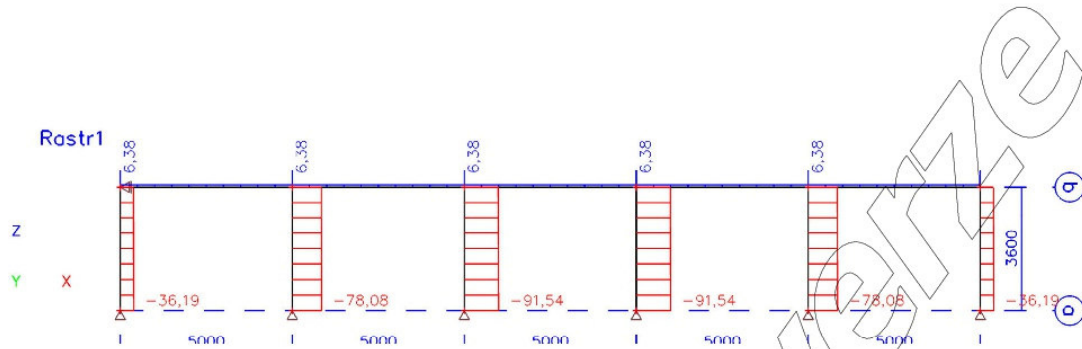
15. Vz,(Kombinace č.3), min. vlastní tíha + vítr podélný



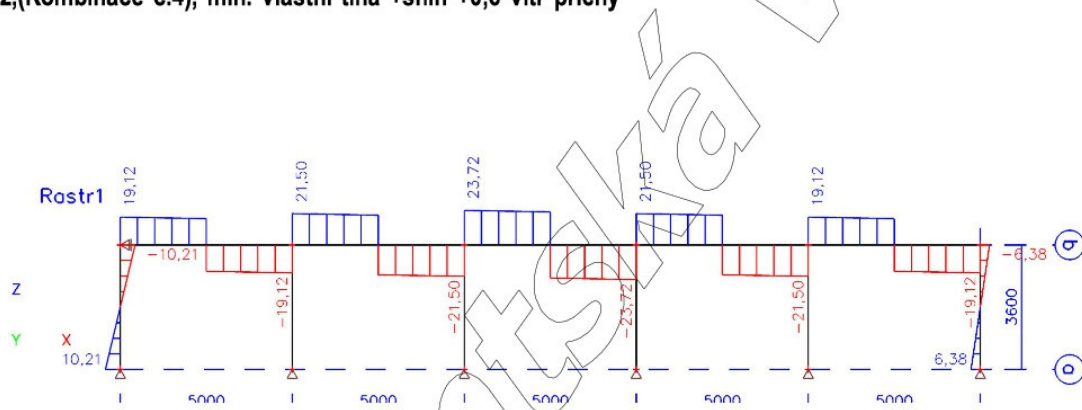
16. My,(Kombinace č.3), min. vlastní tíh+vítr podélný



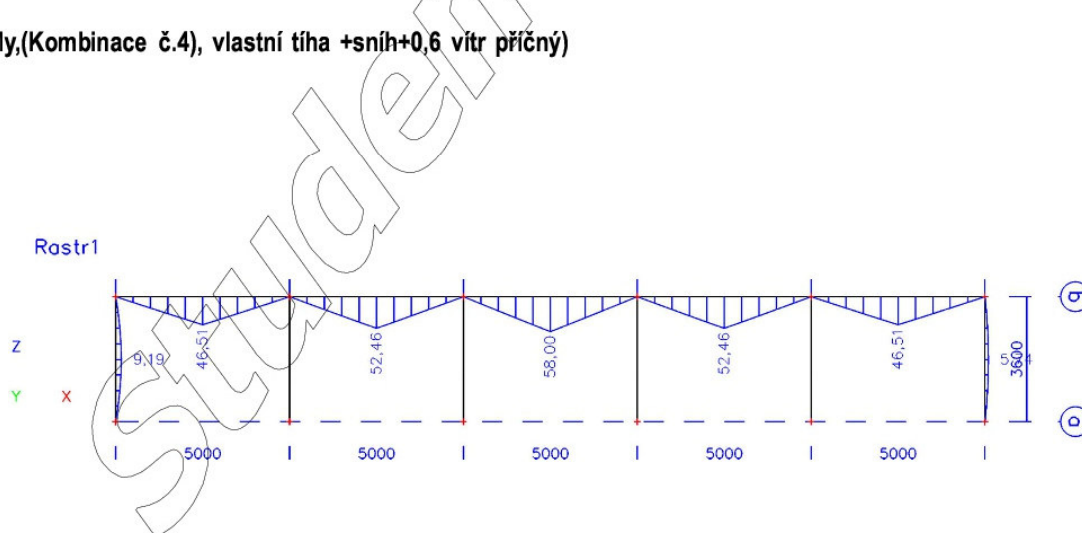
17. N,(Kombinace č.4), vlastní tíha+ sníh+0,6 vítr příčný



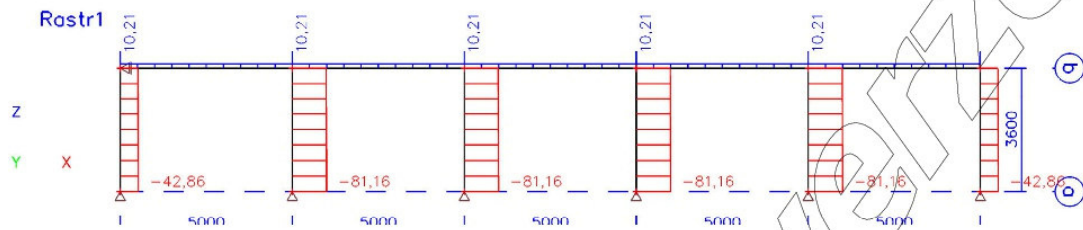
18. Vz,(Kombinace č.4), min. vlastní tíha +sníh +0,6 vítr příčný



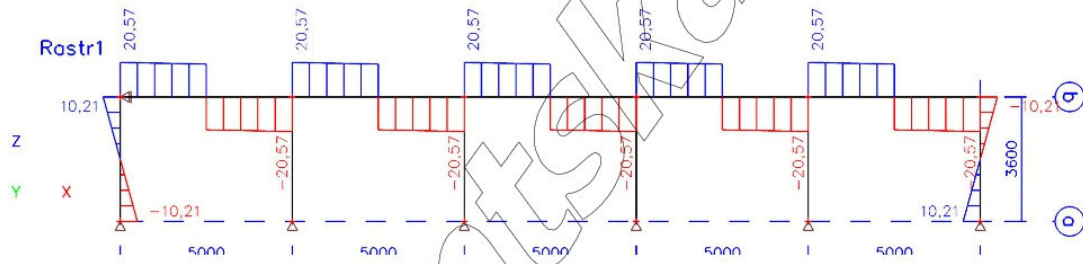
19. My,(Kombinace č.4), vlastní tíha +sníh+0,6 vítr příčný



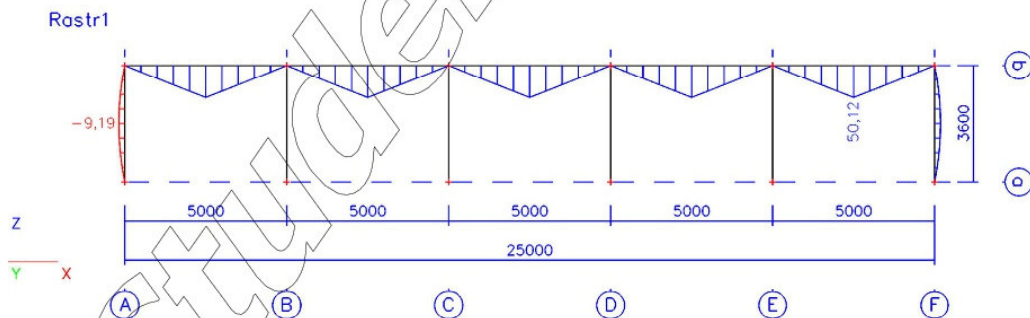
20. N,(Kombinace č.5), vlastní tíha+ sníh+0,6 vítr podélný



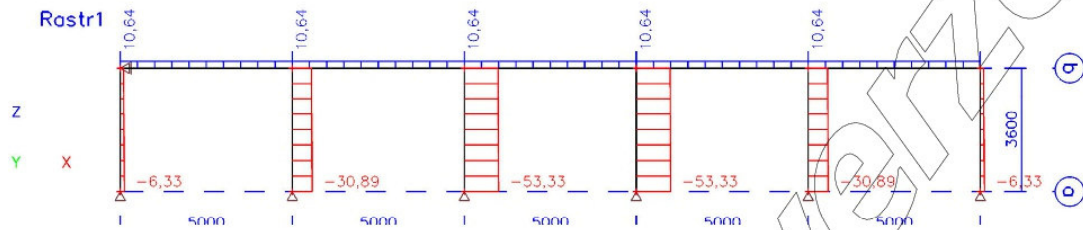
21. Vz,(Kombinace č.5), min. vlastní tíha +sníh +0,6 vítr podélný



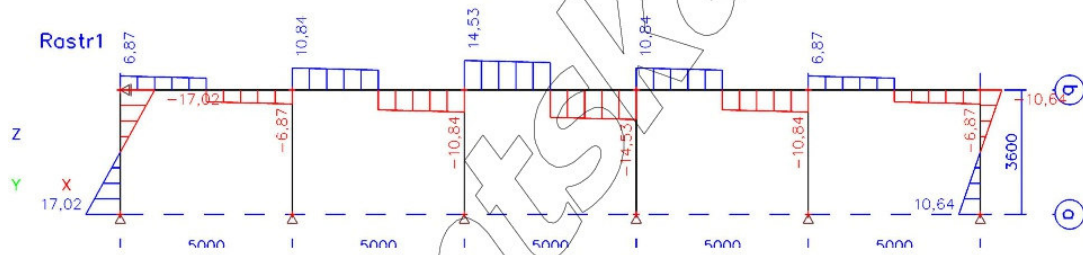
22. My,(Kombinace č.5), vlastní tíha+sníh+0,6 vítr podélný



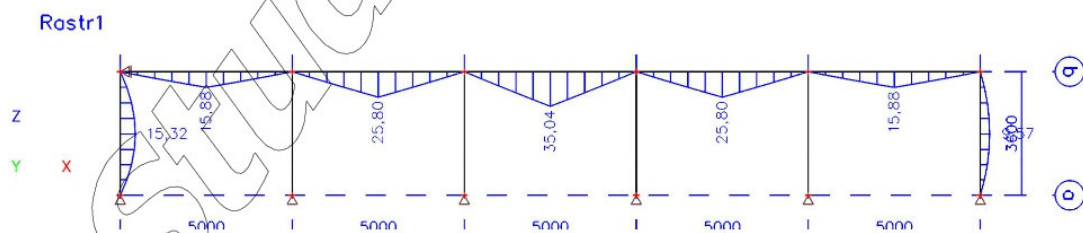
23. N,(Kombinace č.6), vlastní tíha+ 0,6sníh+ vítr příčný



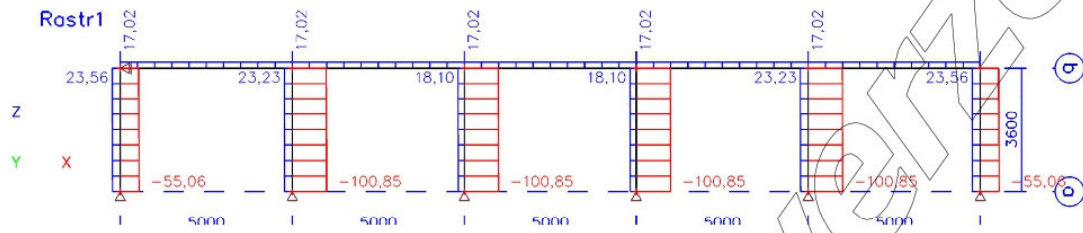
24. Vz,(Kombinace č.6), min. vlastní tíha +0,6sníh + vítr příčný



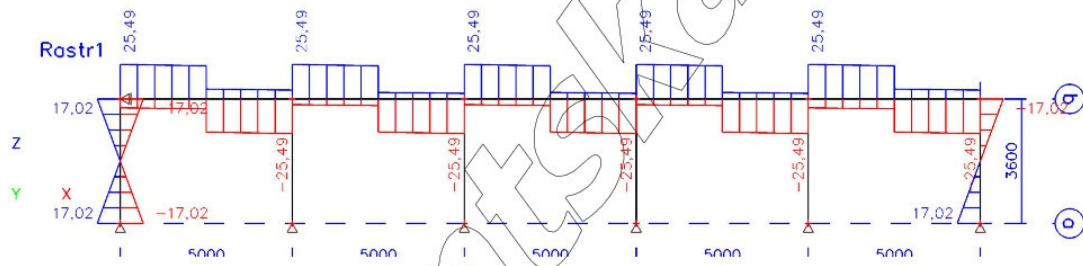
25. My,(Kombinace č.6), min vlastní tíha+0,6 sníh+ vítr příčný



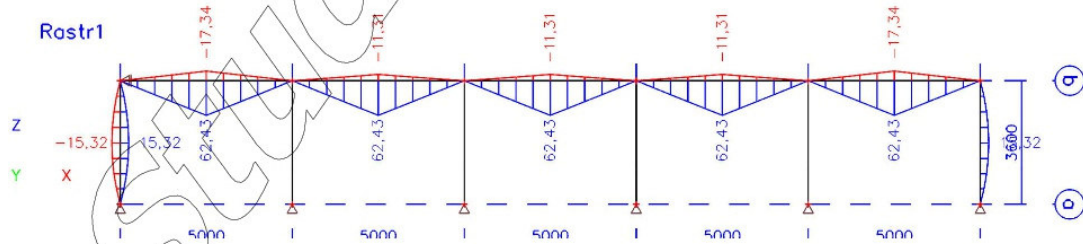
26. N obálka



27. Vz obálka



28. My obálka

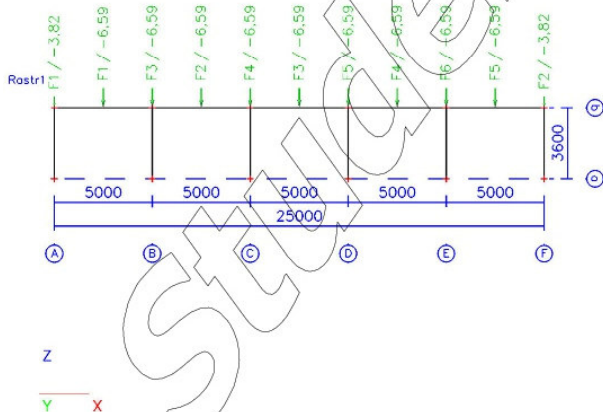


Studentská verze *Studentská verze*

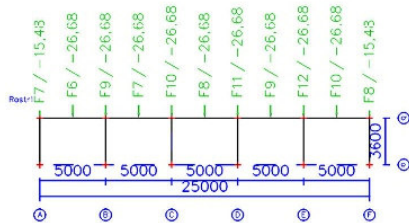
1. Kombinace

Jméno	Typ	Zatěžovací stavy	Souč. [-]
<i>*Studentská verze* *Studentská verze* *Studentská verze* *Studentská verze* *Studentská v</i>			
Vlastní tíha+sníh	Lineární - únosnost	Vlastní tíha	1,35
		Vlastní tíha ostatní	1,35
		Sníh	1,50
min. vlastní tíha+vitr příčný	Lineární - únosnost	Vlastní tíha	1,00
		Vlastní tíha ostatní	1,00
		Vitr příčný	1,50
min. vlastní tíha+vitr podélný	Lineární - únosnost	Vlastní tíha	1,00
		Vlastní tíha ostatní	1,00
		Vitr podélný	1,50
vlastní tíha+sníh+0,6vitr příčný	Lineární - únosnost	Vlastní tíha	1,35
		Vlastní tíha ostatní	1,35
		Sníh	1,50
		Vitr příčný	0,90
vlastní tíha+sníh+0,6vitr podélný	Lineární - únosnost	Vlastní tíha	1,35
		Vlastní tíha ostatní	1,35
		Sníh	1,50
		Vitr podélný	0,90
vlastní tíha+0,6sníh+vitr příčný	Lineární - únosnost	Vlastní tíha	1,35
		Vlastní tíha ostatní	1,35
		Sníh	0,90
		Vitr příčný	1,50

2. Vlastní tíha ostatní

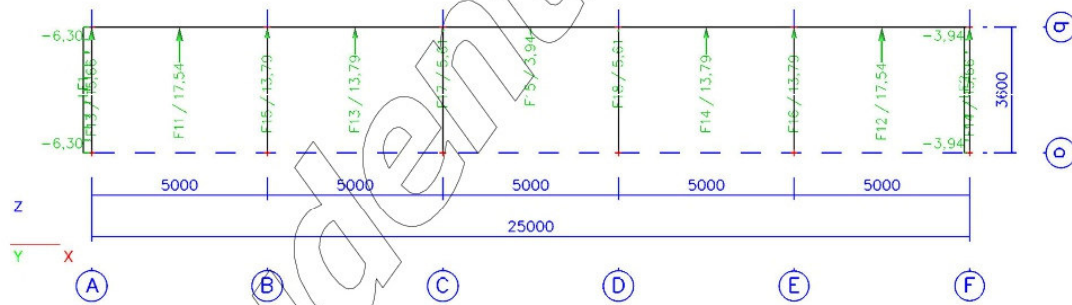


3. Snih

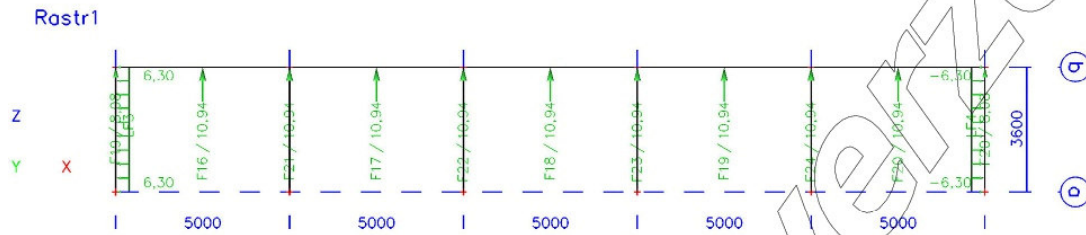


4. Vitr příčný

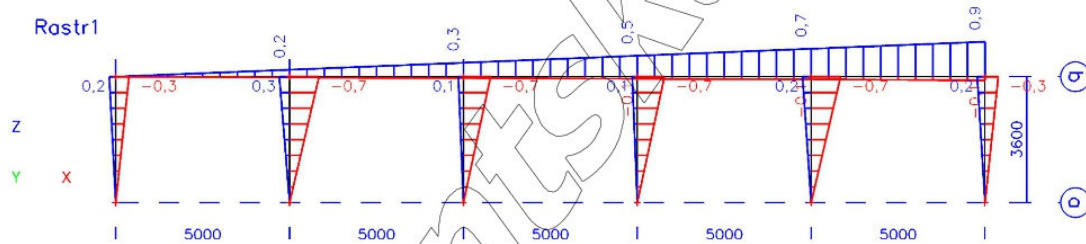
Rastr1



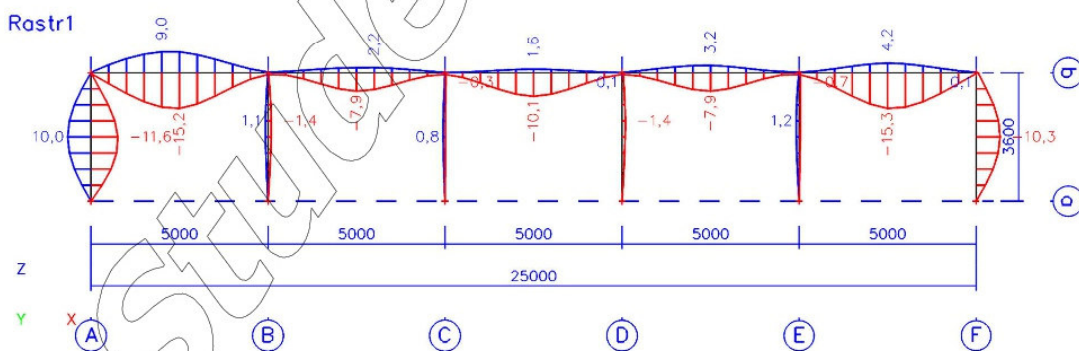
5. Vítr podélný



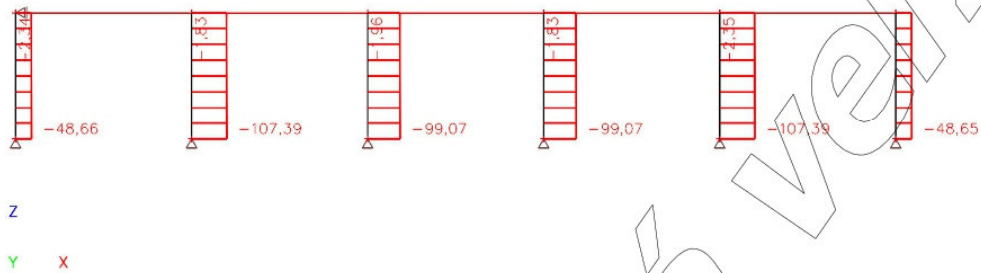
6. Deformace na prutu; ux



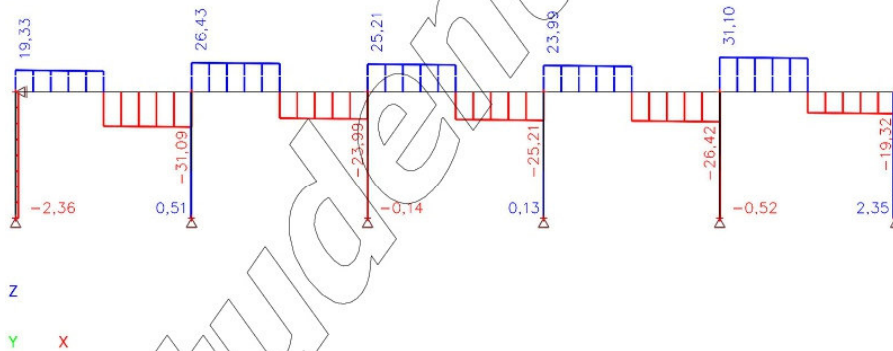
7. Deformace na prutu; uz



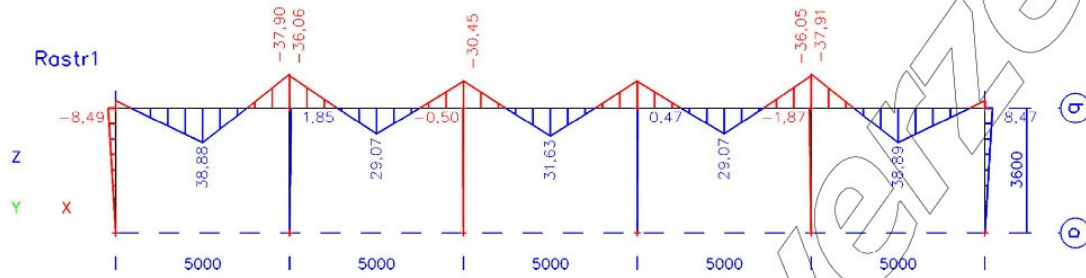
8. N, (Kombinace č.1) vlastní tíha +sníh



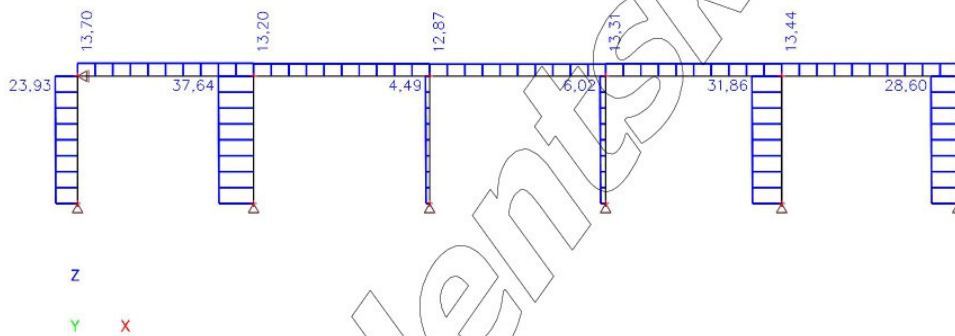
9. Vz (Kombinace č.1) vlastní tíha +sníh



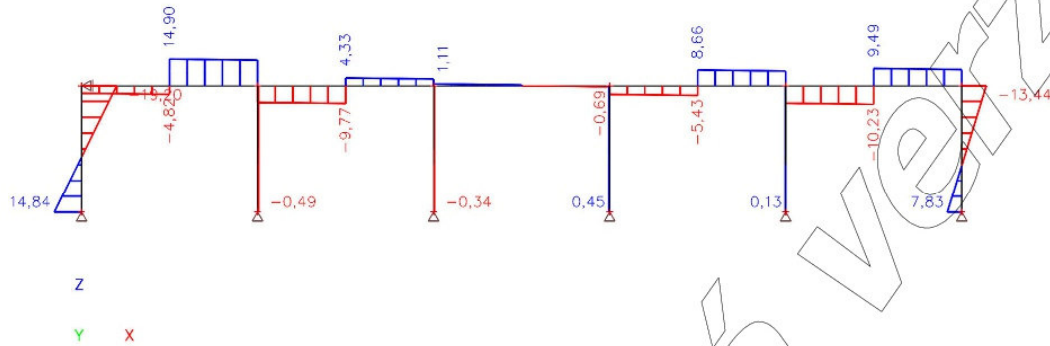
10. My (Kombinace č.1) vlastní tíha + sněh



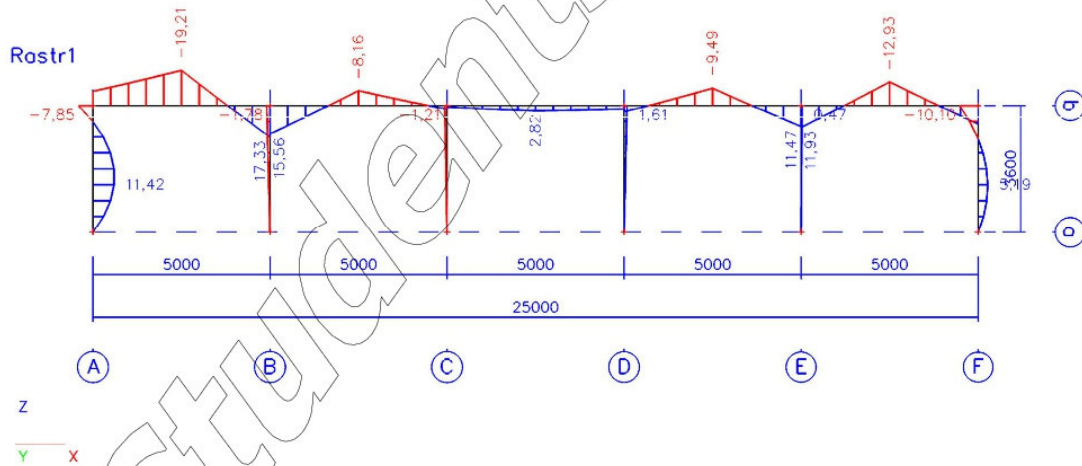
11. N, (Kombinace č.2), min. vlastní tíha + vítr příčný



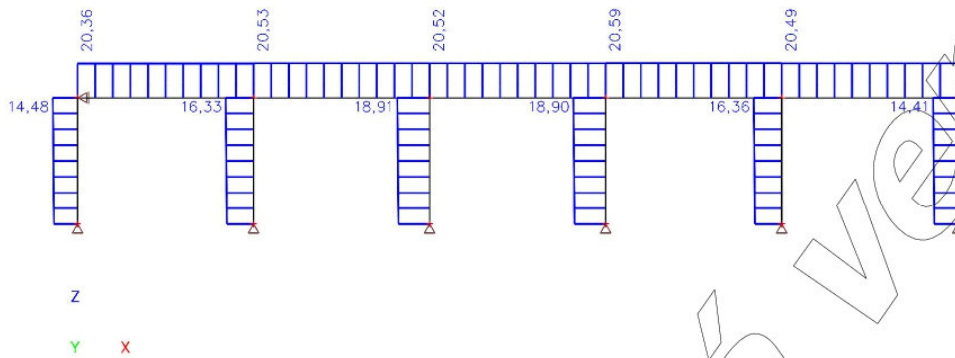
12. Vz, (Kombinace č.2), min. vlastní tíha + vítr příčný



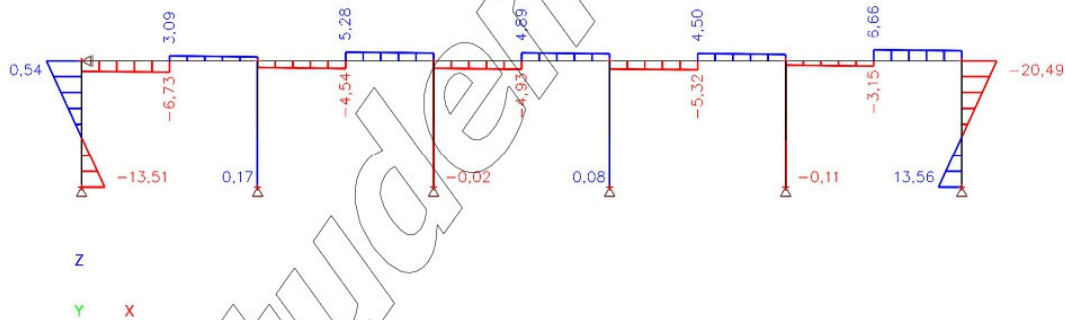
13. My (Kombinace č.2), min. vlastní tíha + vítr příčný



14. N, (Kombinace č.3) min. vlastní tíha +vítr podélný

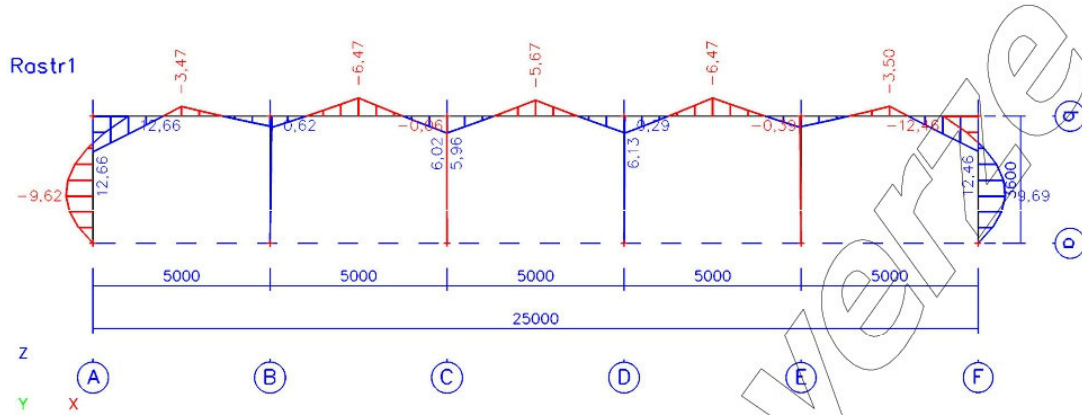


15. Vz, (Kombinace č.3) min. vlastní tíha +vítr podélný

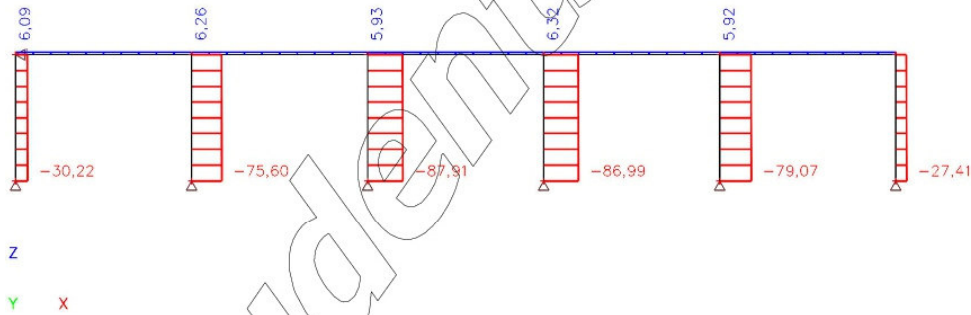


Studentská verze *Studentská verze*

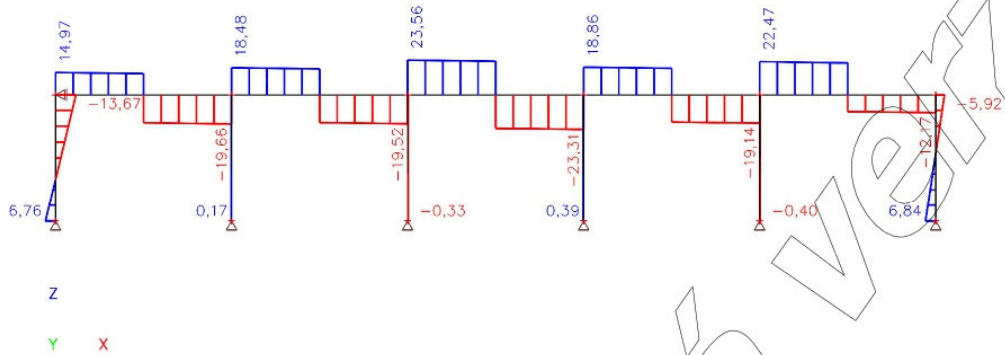
16. My (Kombinace č.3) min. vlastní tíha +vítěr podélný



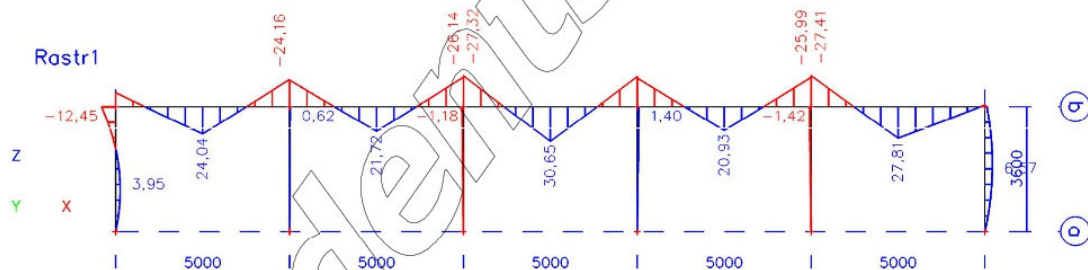
17. N, (Kombinace č.4) vlastní tíha +sníh+0,6 vítr příčný



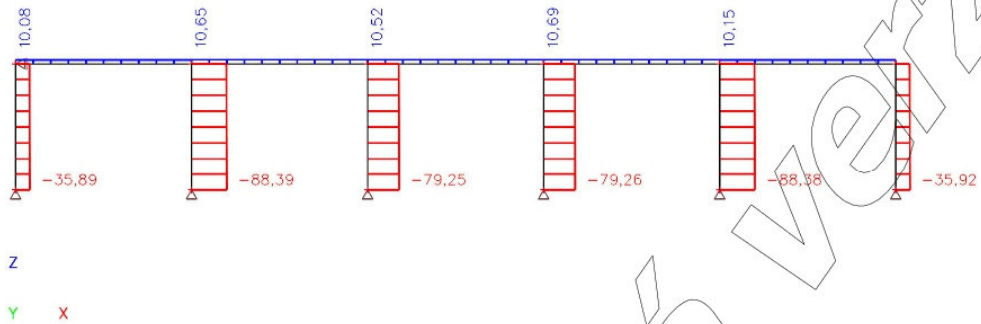
18. Vz, (Kombinace č.4) vlastní tíha +sníh+0,6 vítr příčný



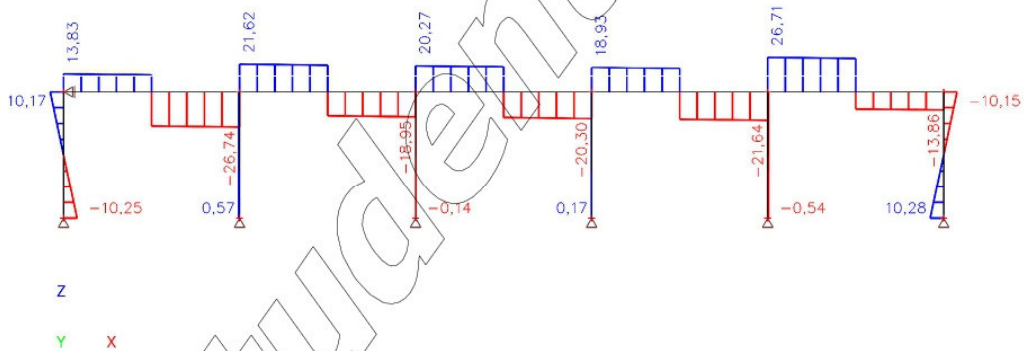
19. My (Kombinace č.4) vlastní tíha +sníh+0,6 vítr příčný



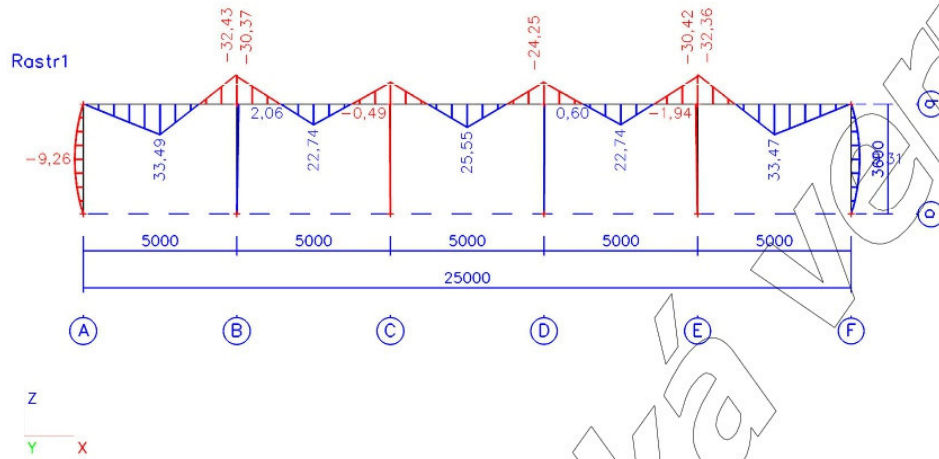
20. N, (Kombinace č.5) vlastní tíha +sníh+0,6 vítr podélný



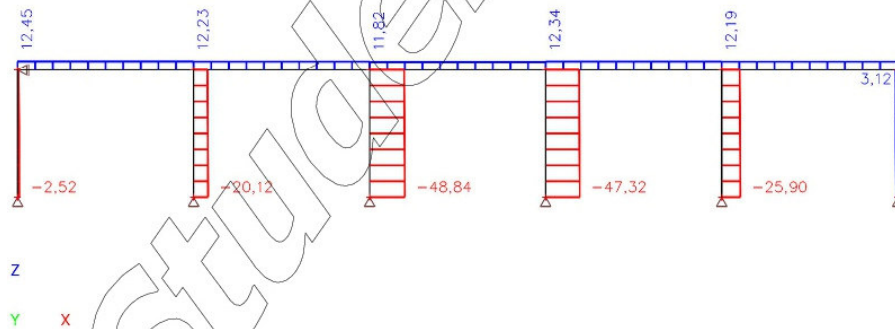
21. Vz, (Kombinace č.5) vlastní tíha +sníh+0,6 vítr podélný



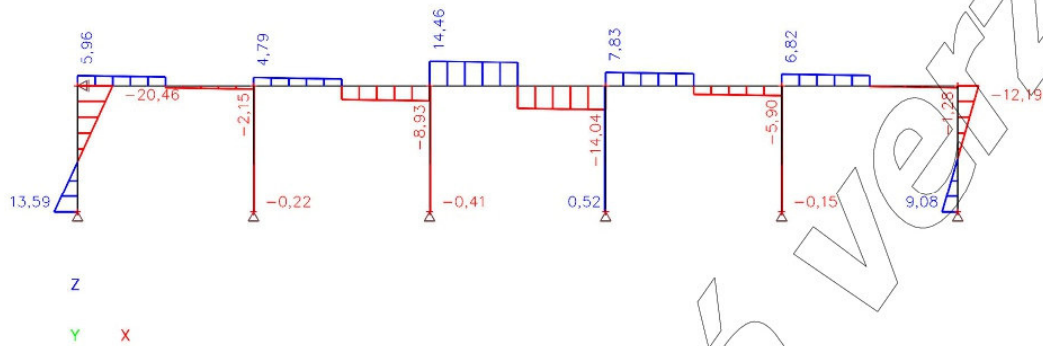
22. My (Kombinace č.5) vlastní tíha +sníh+0,6 vítr podélný



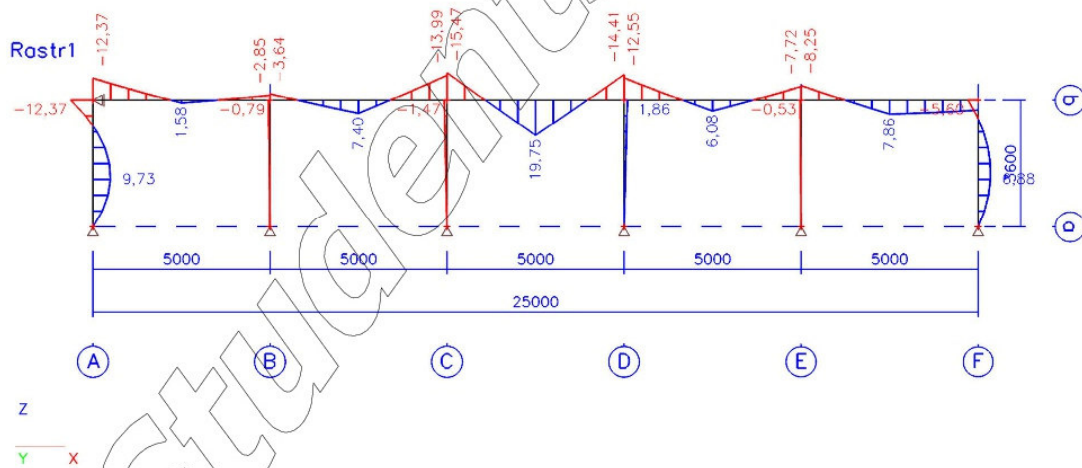
23. N, (Kombinace č.6) vlastní tíha +0,6sníh+ vítr příčný



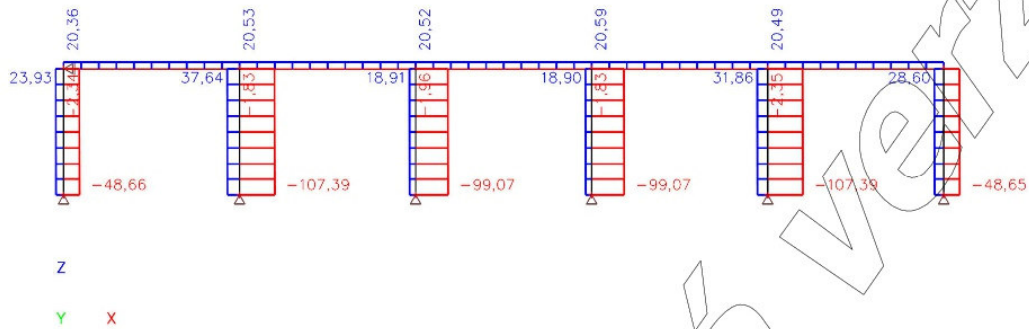
24. Vz, (Kombinace č.6) vlastní tíha +0,6sníh+ vítr příčný



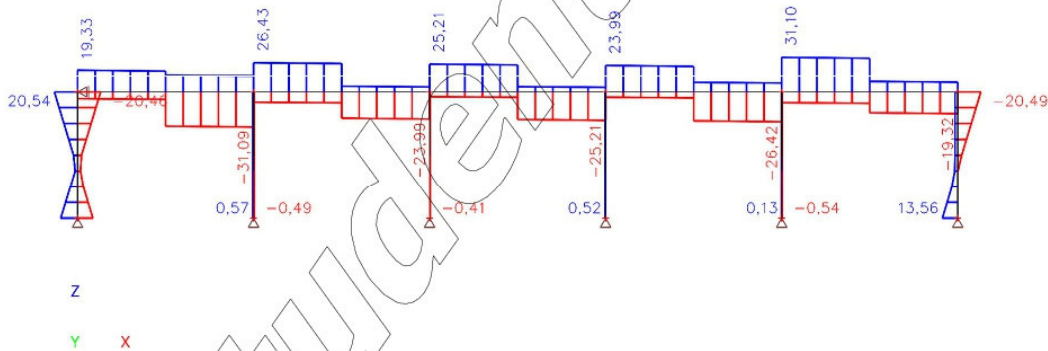
25. My (Kombinace č.6) vlastní tíha +0,6sníh+ vítr příčný



26. Obálka N

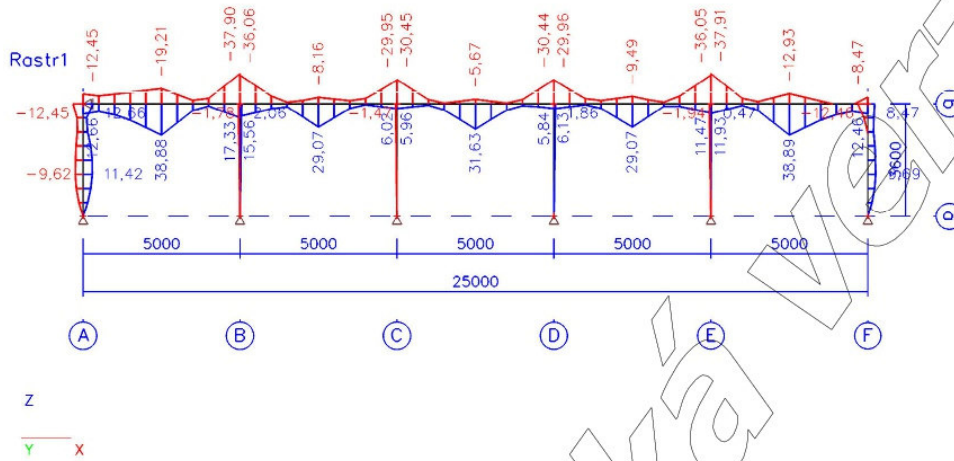


27. Obálka Vz



Studentská verze *Studentská verze*

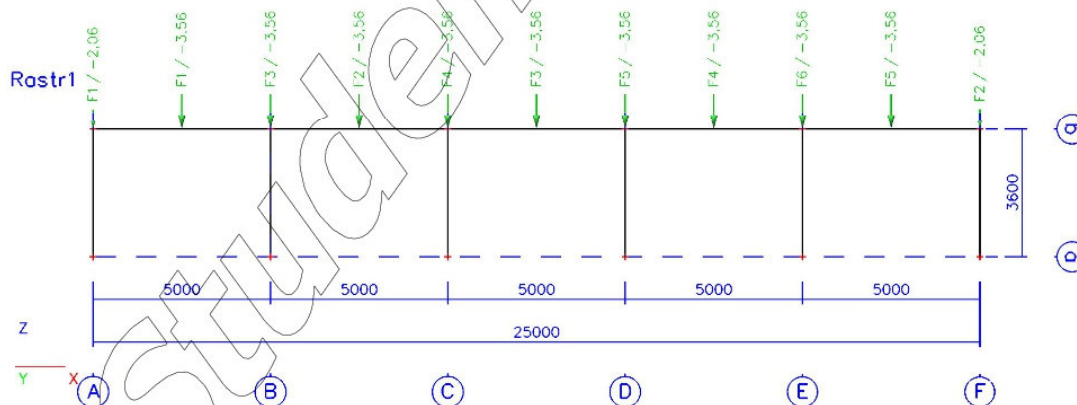
28. Obálka My



1. Kombinace

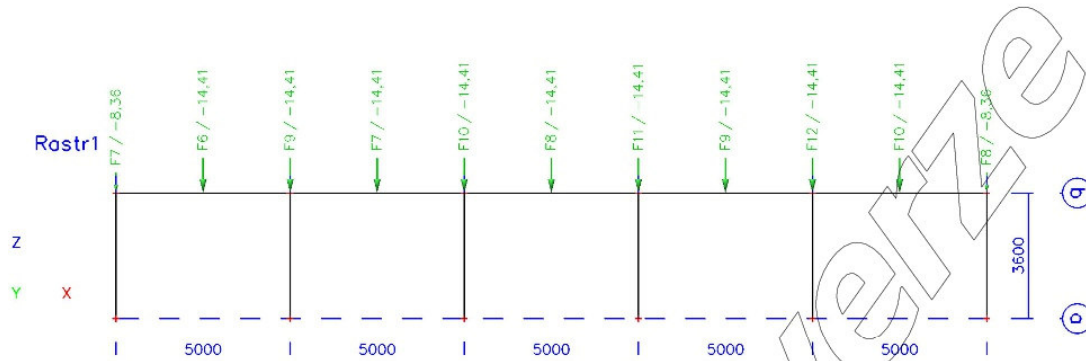
Jméno	Typ	Zatěžovací stavy	Souč. [-]
<i>*Studentská verze* *Studentská verze* *Studentská verze* *Studentská verze* *Studentská v</i>			
Vlastní tíha+sníh	Lineární - únosnost	Vlastní tíha	1,35
		Vlastní tíha ostatní	1,35
		Sníh	1,50
min. vlastní tíha+vitr příčný	Lineární - únosnost	Vlastní tíha	1,00
		Vlastní tíha ostatní	1,00
		Vitr příčný	1,50
min. vlastní tíha+vitr podélný	Lineární - únosnost	Vlastní tíha	1,00
		Vlastní tíha ostatní	1,00
		Vitr podélný	1,50
vlastní tíha+sníh+0,6vitr příčný	Lineární - únosnost	Vlastní tíha	1,35
		Vlastní tíha ostatní	1,35
		Sníh	1,50
		Vitr příčný	0,90
vlastní tíha+sníh+0,6vitr podélný	Lineární - únosnost	Vlastní tíha	1,35
		Vlastní tíha ostatní	1,35
		Sníh	1,50
		Vitr podélný	0,90
vlastní tíha+0,6sníh+vitr příčný	Lineární - únosnost	Vlastní tíha	1,35
		Vlastní tíha ostatní	1,35
		Sníh	0,90
		Vitr příčný	1,50
vlastní tíha+0,6sníh+vitr podélný	Lineární - únosnost	Vlastní tíha	1,35
		Vlastní tíha ostatní	1,35
		Sníh	0,90
		Vitr podélný	1,50

2. Vlastní tíha ostatní

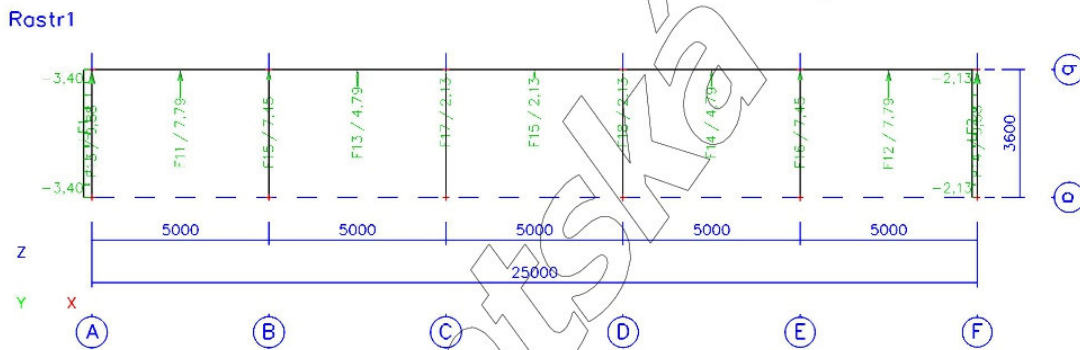


Studentská verze* *Studentská verze

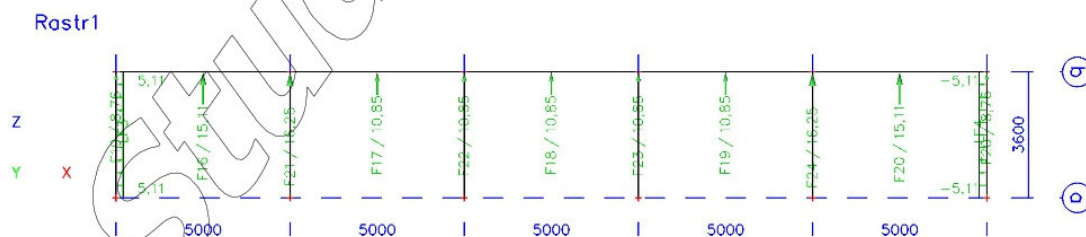
3. Snih



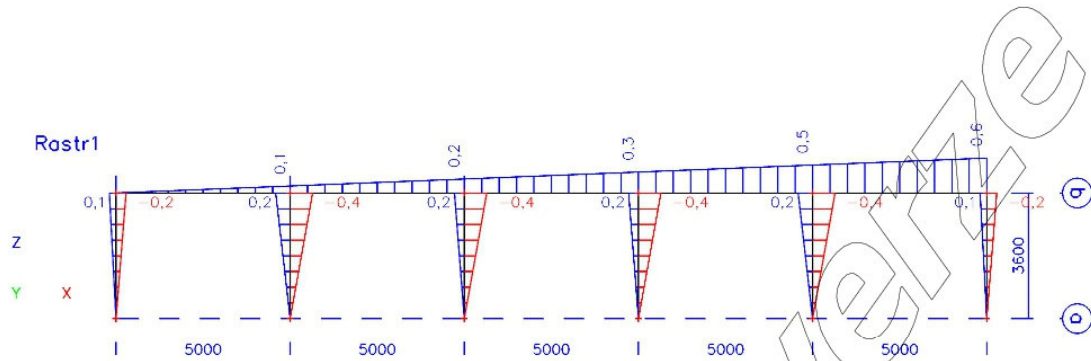
4. Vítr příčný



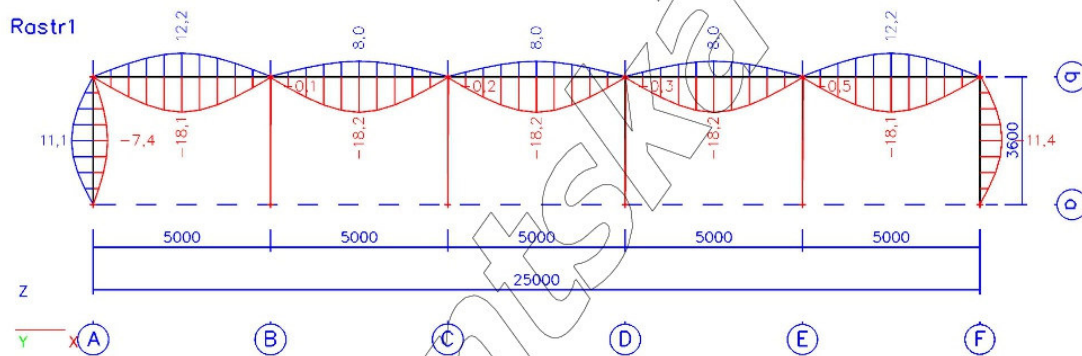
5. Vítr podélný



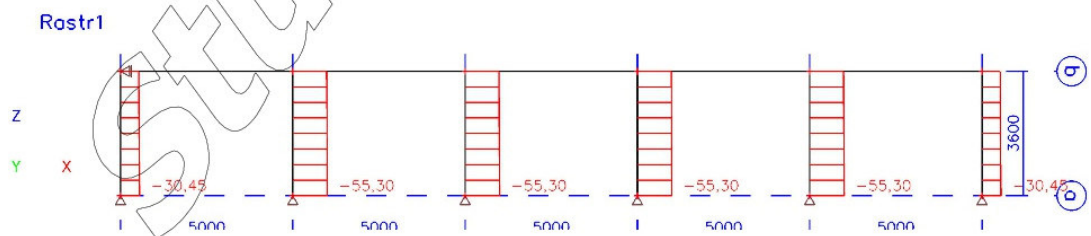
6. Deformace na prutu; ux



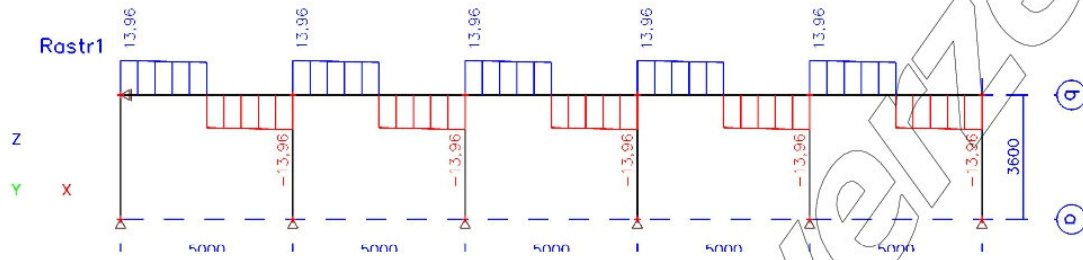
7. Deformace na prutu; uz



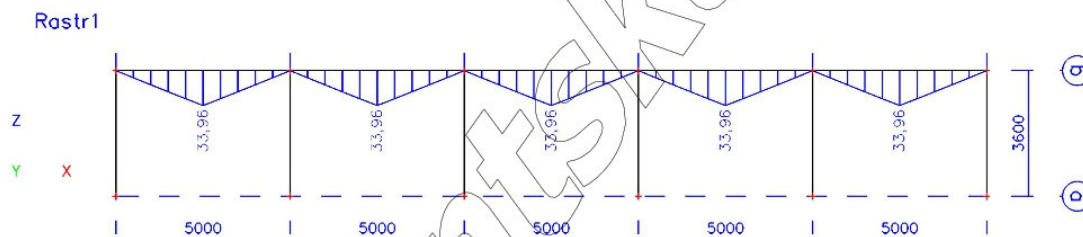
8. N,(Kombinace č.1), vlastní tíha +sníh



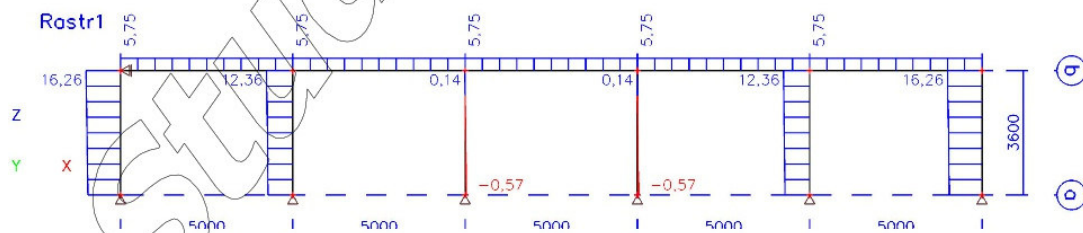
9. Vz,(Kombinace č.1), vlastní tíha +sníh



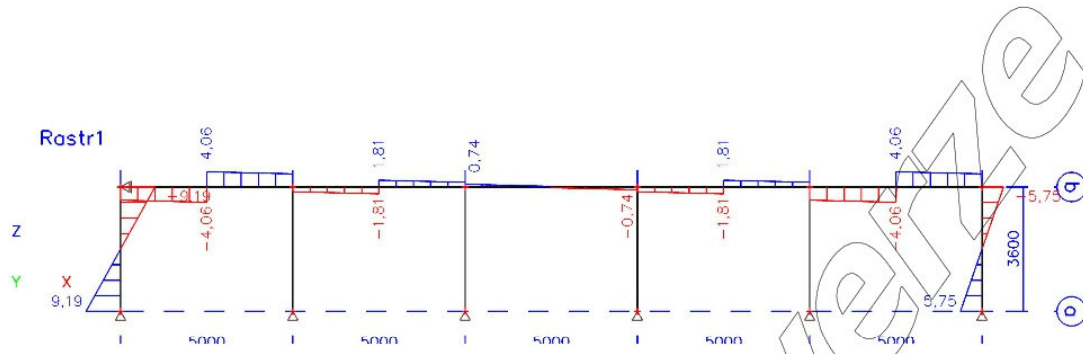
10. My,(Kombinace č.1), vlastní tíha+sníh



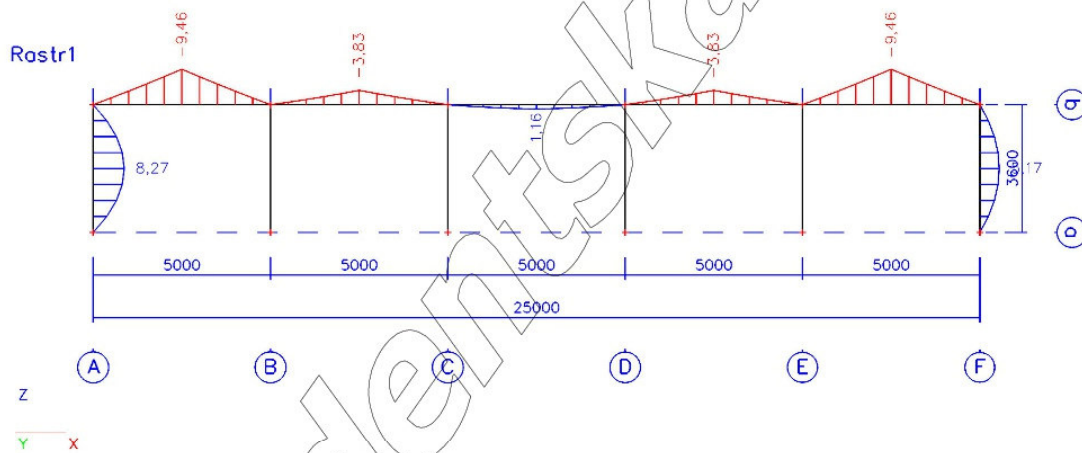
11. N,(Kombinace č.2), min vlastní tíha +vítr příčný



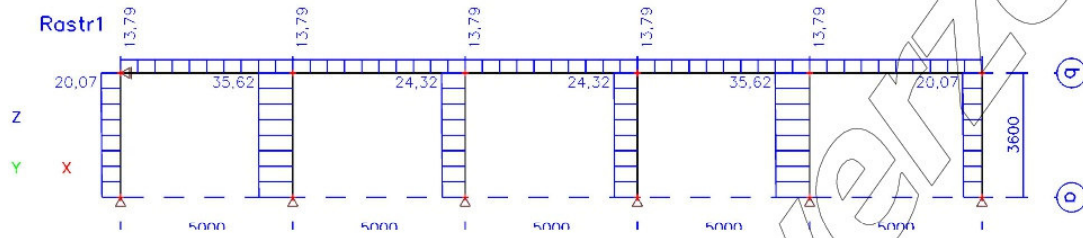
12. Vz, (Kombinace č.2), min. vlastní tíha + vítr příčný



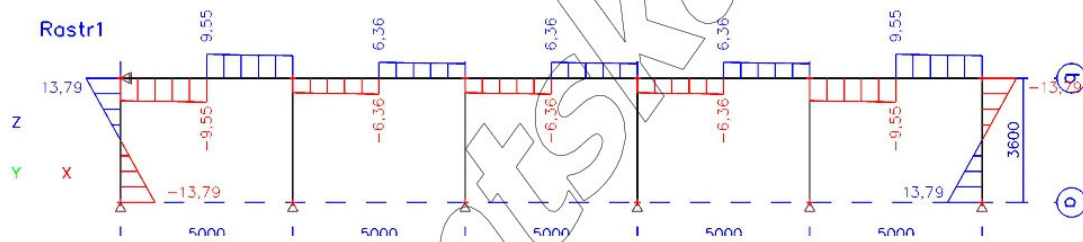
13. My, (Kombinace č.2), min. vlastní tíha+ vítr příčný



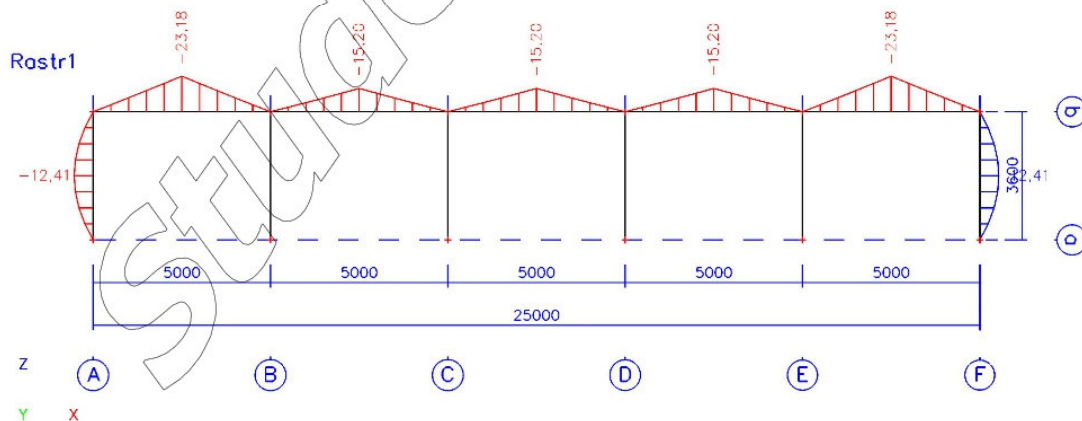
14.N,(kombinace č.3), min vlastní tíha+ vítr podélný



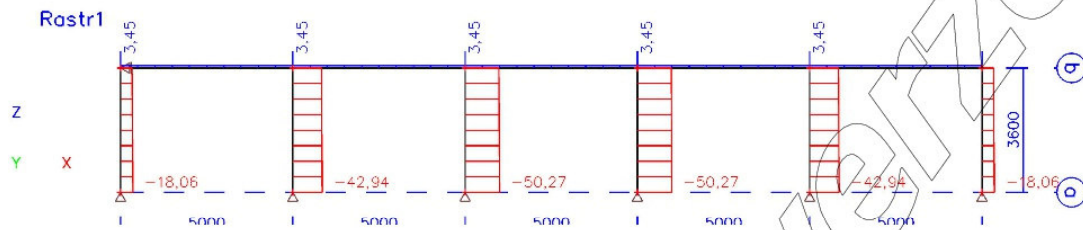
15.Vz,(kombinace č.3), min. vlastní tíha + vítr podélný



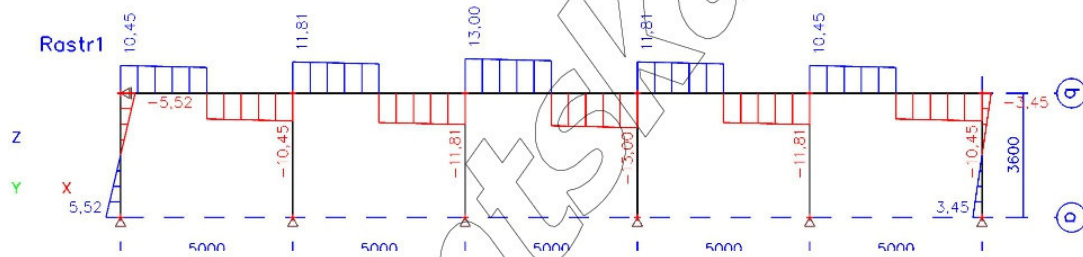
16. My,(kombinace č.3), min. vlastní tíh+vítr podélný



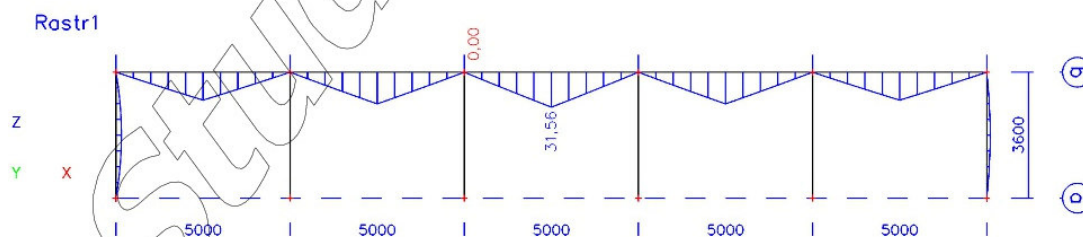
17.N,(Kombinace č.4), vlastní tíha+ sníh+0,6 vítr příčný



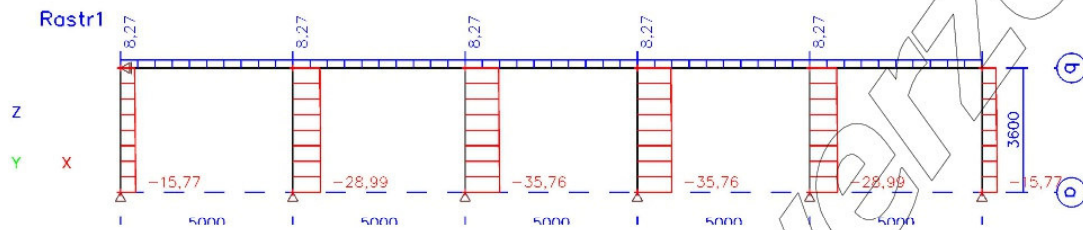
18.Vz,(Kombinace č.4), min. vlastní tíha +sníh +0,6 vítr příčný



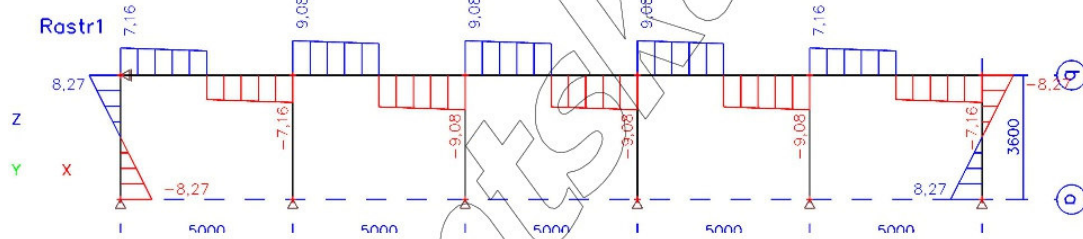
19. My,(Kombinace č.4), vlastní tíha +sníh+0,6 vítr příčný



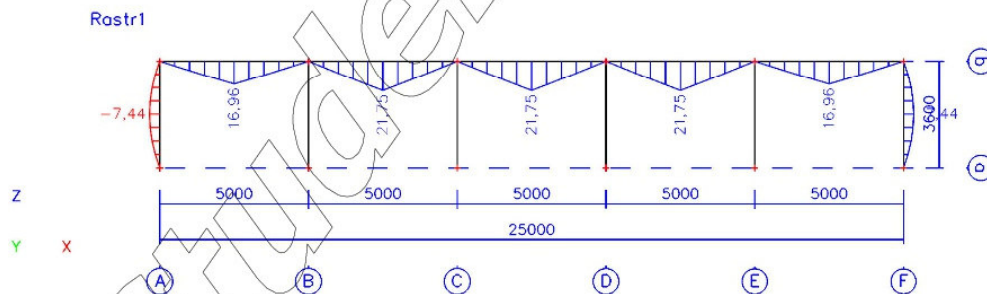
20.N,(Kombinace č.5), vlastní tíha+ sníh+0,6 vítr podélný



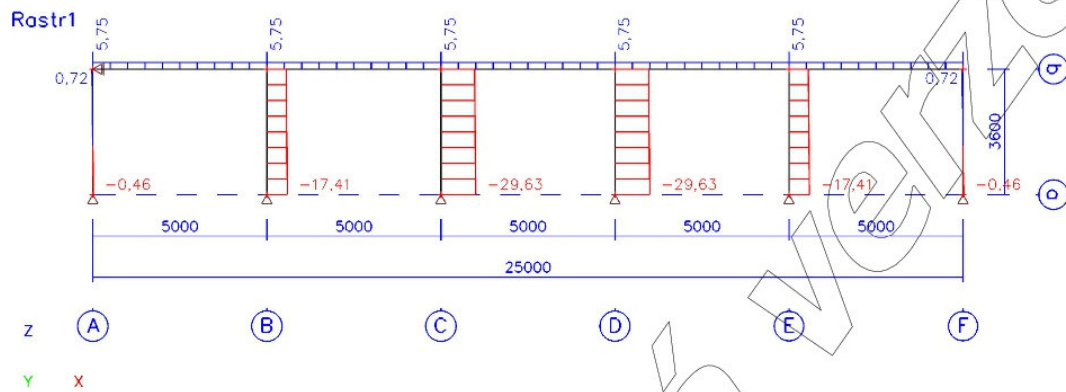
21.Vz,(Kombinace č.5), min. vlastní tíha +sníh +0,6 vítr podélný



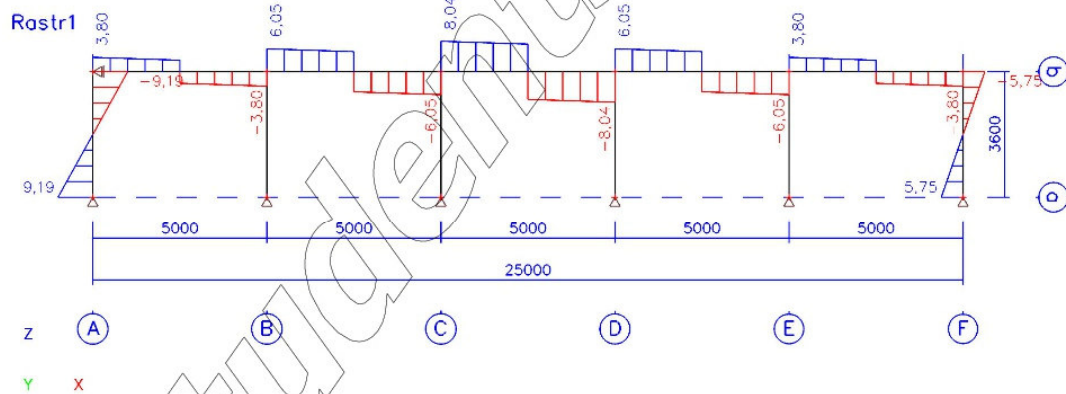
22. My,(Kombinace č.5), vlastní tíha+sníh+0,6 vítr podélný



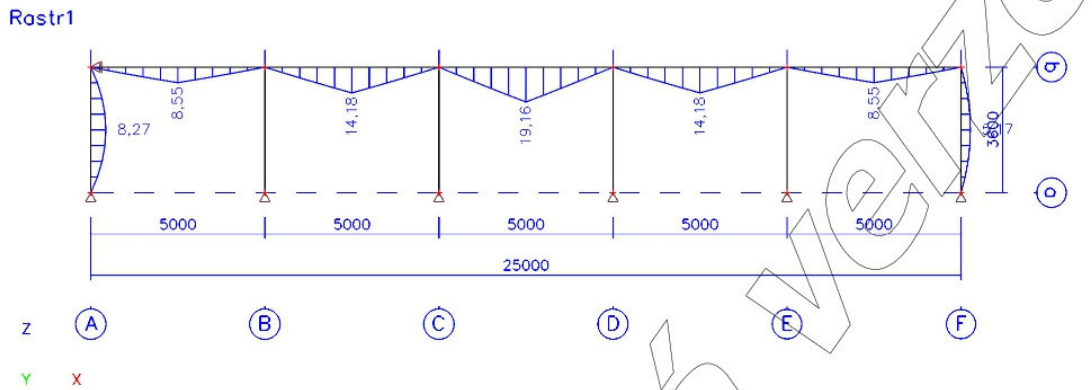
23. N, (Kombinace č.6) vlastní tíha +0,6 sniž+ vítr příčný



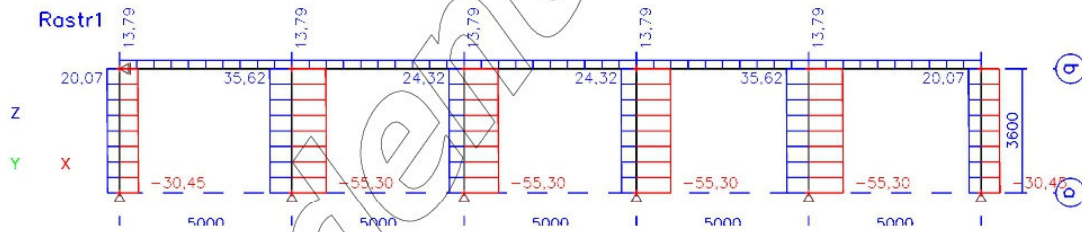
24. Vz, (Kombinace č.6), vlastní tíha+ 0,6 sniž+ vítr příčný



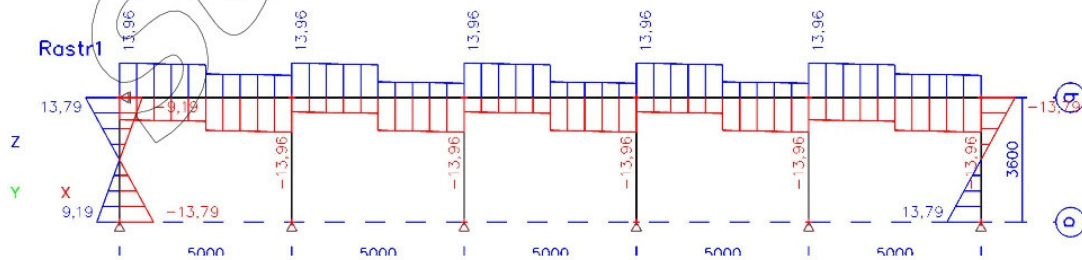
25. My, (Kombinace č.6), vlastní tíha+ 0,6 sníh+ vítr příčný



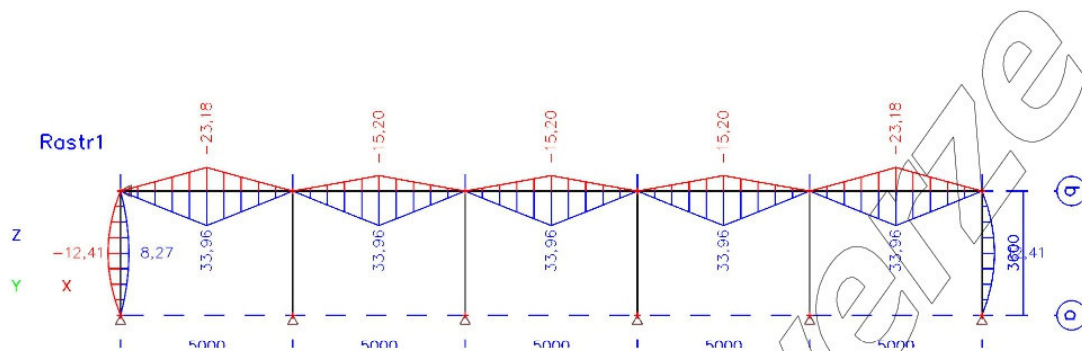
26. N obálka



27. Vz obálka



28. My obálka



III - LTB CALCULATION

Requested number of modes : 1
 Blocked moment diagram : No
 Blocked axial force diagram : No

III.1 - LTB modes

Table 3 : LTB modes.

Mode	μ_{cr}	$M_{max,cr}$ [kN.m]	$x(M_{max})$ [m]	$N_{max,cr}$ [kN]	$x(N_{max})$ [m]
1	1,565	-31,8	2,5	0	2,5

III.2 - Mode shapes

- Mode 1

Table 4 : Mode 1.

Mode	μ_{cr}	$M_{max,cr}$ [kN.m]	$x(M_{max})$ [m]	$N_{max,cr}$ [kN]	$x(N_{max})$ [m]
1	1,565	-31,8	2,5	0	2,5

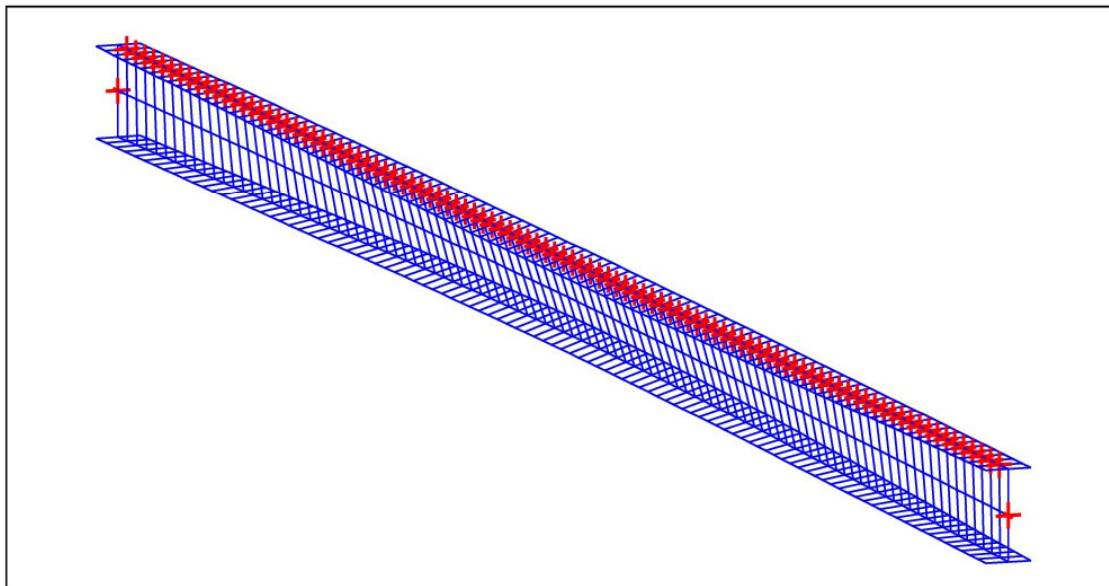


Figure 12 : Mode shape in 3D (Mode 1).

III - LTB CALCULATION

Requested number of modes : 1
 Blocked moment diagram : No
 Blocked axial force diagram : No

III.1 - LTB modes

Table 3 : LTB modes.

Mode	μ_{cr}	$M_{max,cr}$ [kN.m]	$x(M_{max})$ [m]	$N_{max,cr}$ [kN]	$x(N_{max})$ [m]
1	4,423	-108,38	2,7	0	2,7

III.2 - Mode shapes

- Mode 1

Table 4 : Mode 1.

Mode	μ_{cr}	$M_{max,cr}$ [kN.m]	$x(M_{max})$ [m]	$N_{max,cr}$ [kN]	$x(N_{max})$ [m]
1	4,423	-108,38	2,7	0	2,7

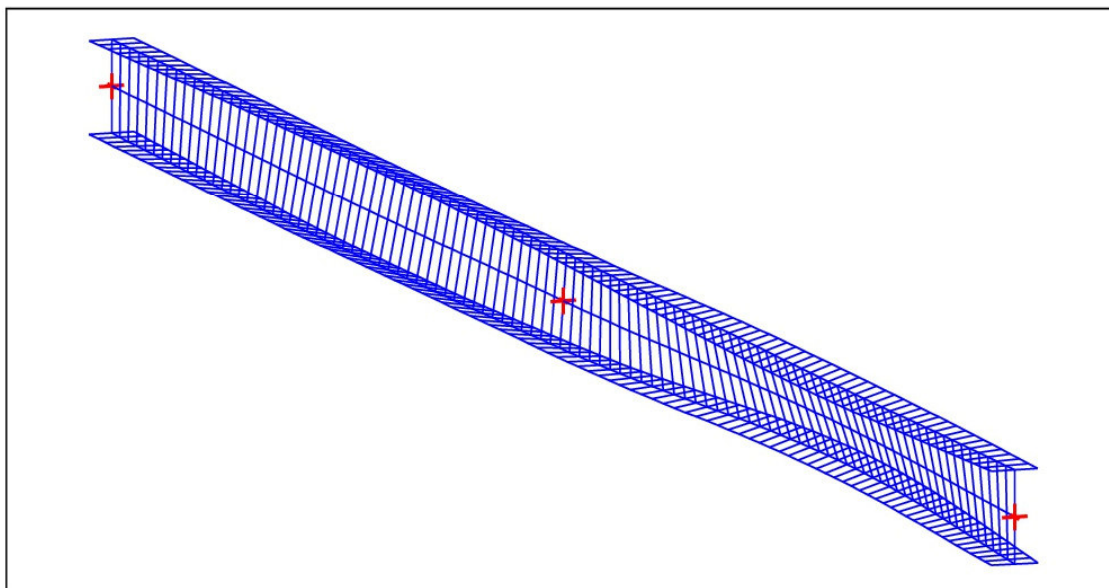


Figure 12 : Mode shape in 3D (Mode 1).

III - LTB CALCULATION

Requested number of modes : 1
 Blocked moment diagram : No
 Blocked axial force diagram : No

III.1 - LTB modes

Table 3 : LTB modes.

Mode	μ_{cr}	$M_{max,cr}$ [kN.m]	$x(M_{max})$ [m]	$N_{max,cr}$ [kN]	$x(N_{max})$ [m]
1	1,565	-31,8	2,5	0	2,5

III.2 - Mode shapes

- Mode 1

Table 4 : Mode 1.

Mode	μ_{cr}	$M_{max,cr}$ [kN.m]	$x(M_{max})$ [m]	$N_{max,cr}$ [kN]	$x(N_{max})$ [m]
1	1,565	-31,8	2,5	0	2,5

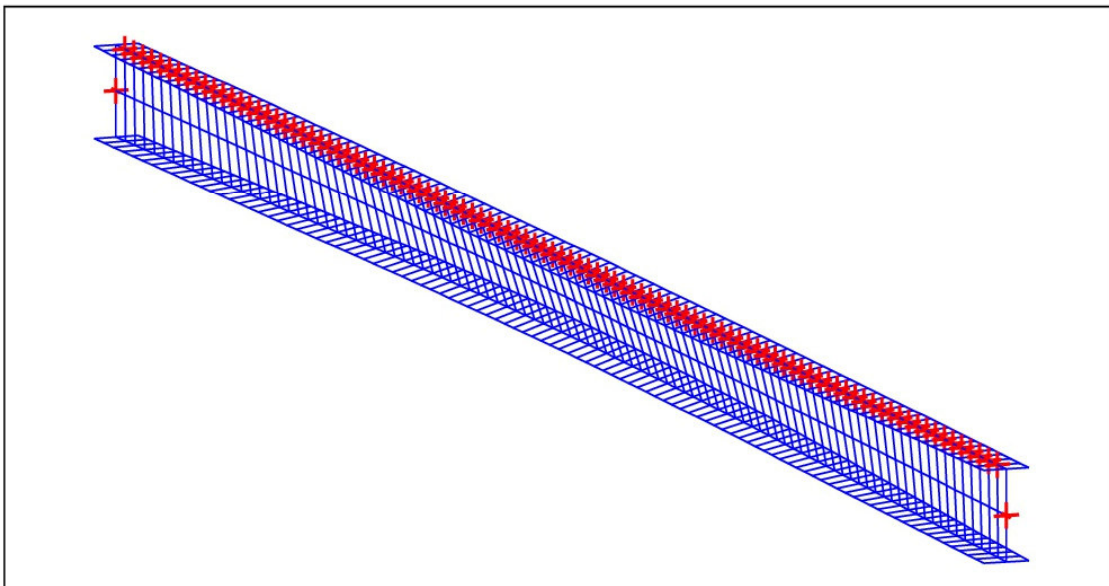


Figure 12 : Mode shape in 3D (Mode 1).

II - LTB CALCULATION

Requested number of modes : 1
 Blocked moment diagram : No
 Blocked axial force diagram : No

II.1 - LTB modes

Table 3 : LTB modes.

Mode	μ_{cr}	$M_{max,cr}$ [kN.m]	$x(M_{max})$ [m]	$N_{max,cr}$ [kN]	$x(N_{max})$ [m]
1	4,315	269,37	2,5	0	2,5

II.2 - Mode shapes

- Mode 1

Table 4 : Mode 1.

Mode	μ_{cr}	$M_{max,cr}$ [kN.m]	$x(M_{max})$ [m]	$N_{max,cr}$ [kN]	$x(N_{max})$ [m]
1	4,315	269,37	2,5	0	2,5

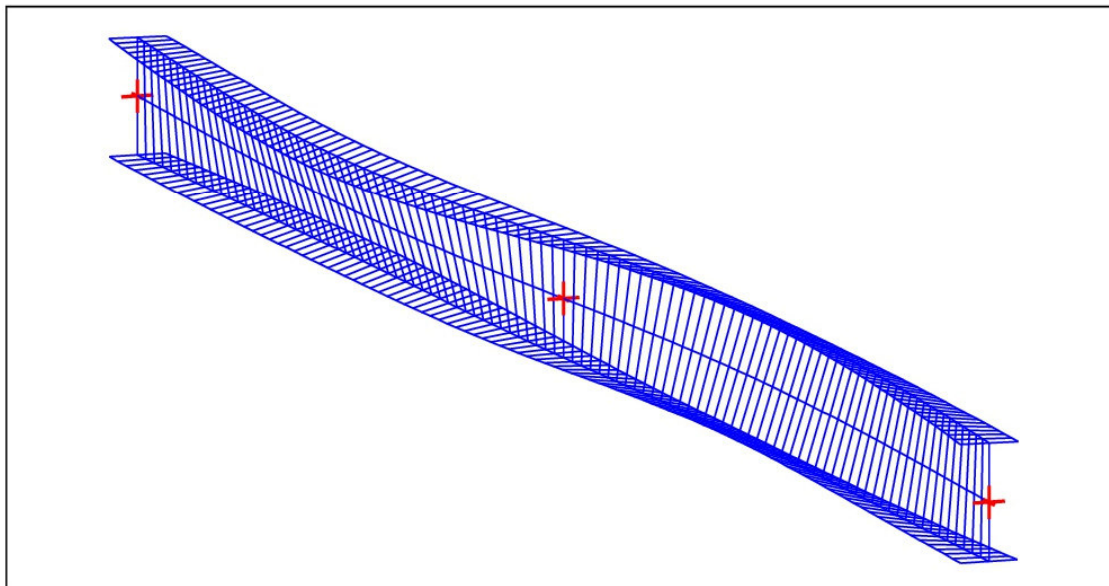


Figure 8 : Mode shape in 3D (Mode 1).

II - LTB CALCULATION

Requested number of modes : 1
 Blocked moment diagram : No
 Blocked axial force diagram : No

II.1 - LTB modes

Table 3 : LTB modes.

Mode	μ_{cr}	$M_{max,cr}$ [kN.m]	$x(M_{max})$ [m]	$N_{max,cr}$ [kN]	$x(N_{max})$ [m]
1	4,882	-125,52	2,5	0	2,5

II.2 - Mode shapes

- Mode 1

Table 4 : Mode 1.

Mode	μ_{cr}	$M_{max,cr}$ [kN.m]	$x(M_{max})$ [m]	$N_{max,cr}$ [kN]	$x(N_{max})$ [m]
1	4,882	-125,52	2,5	0	2,5

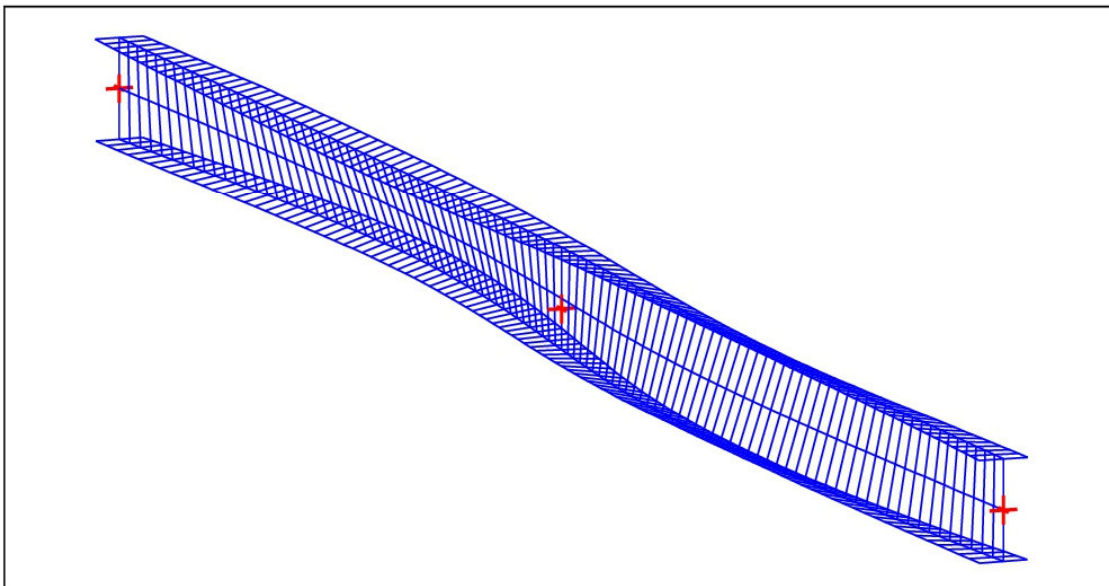
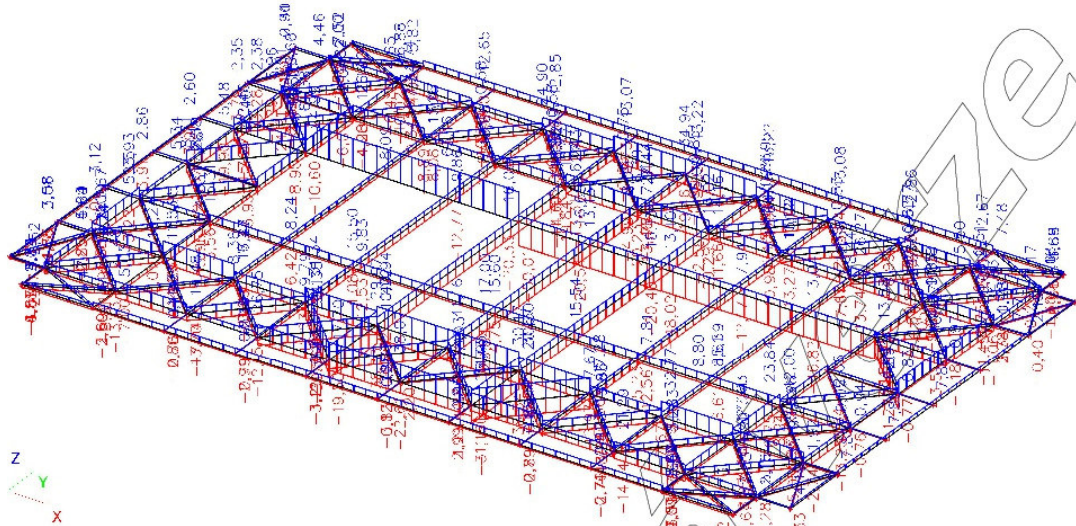
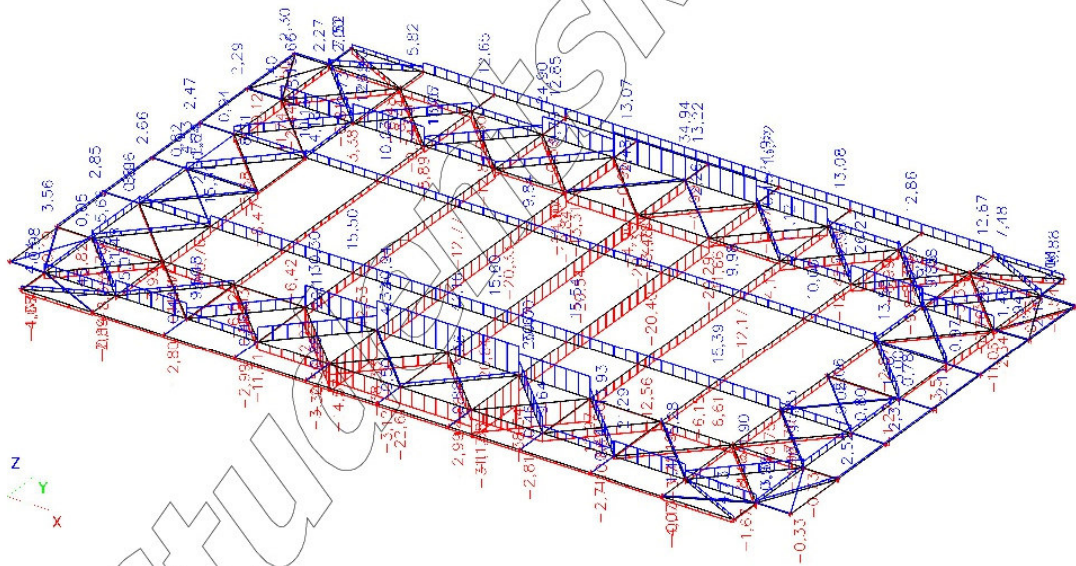


Figure 8 : Mode shape in 3D (Mode 1).

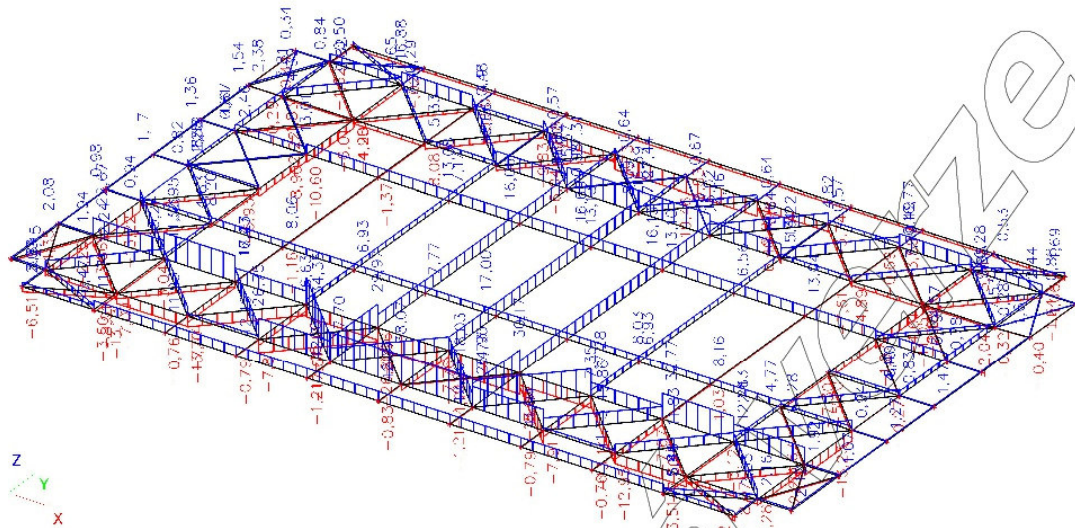
9. Obálka vnitřních sil



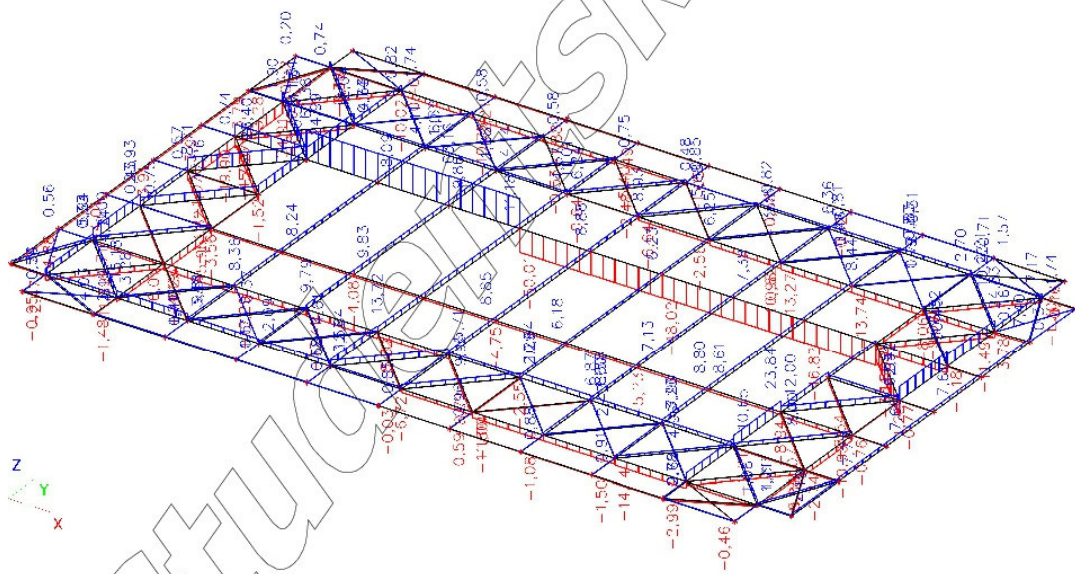
10. Vitr severní



11. Vitr jižní

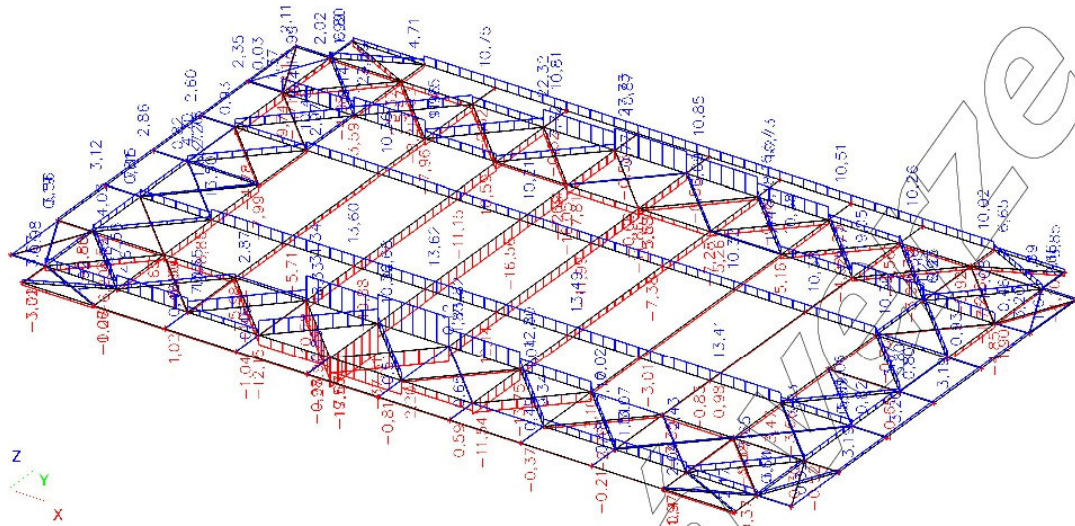


12. Vitr východní

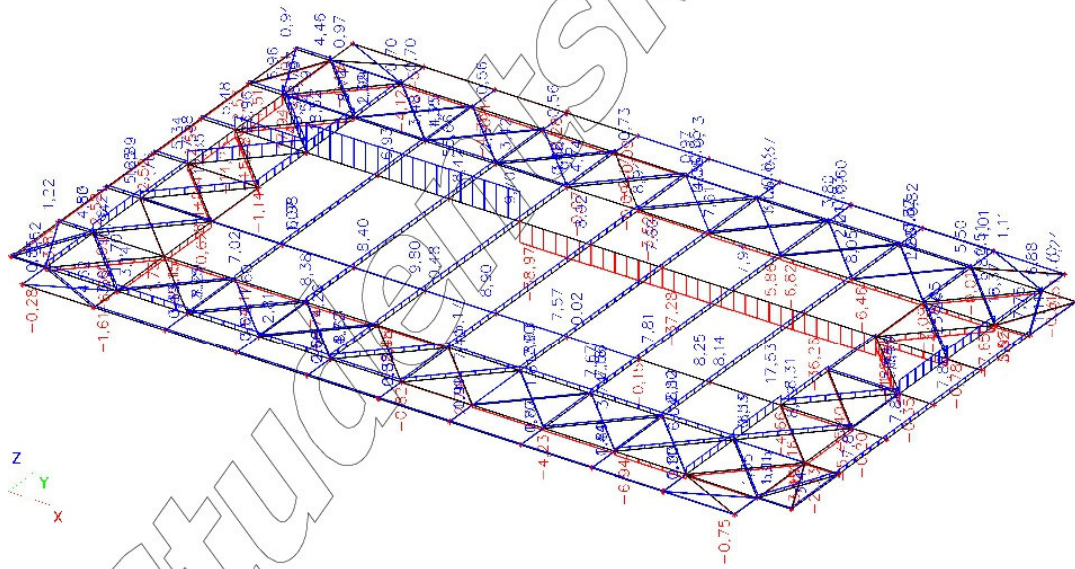


Studentská verze *Studentská verze*

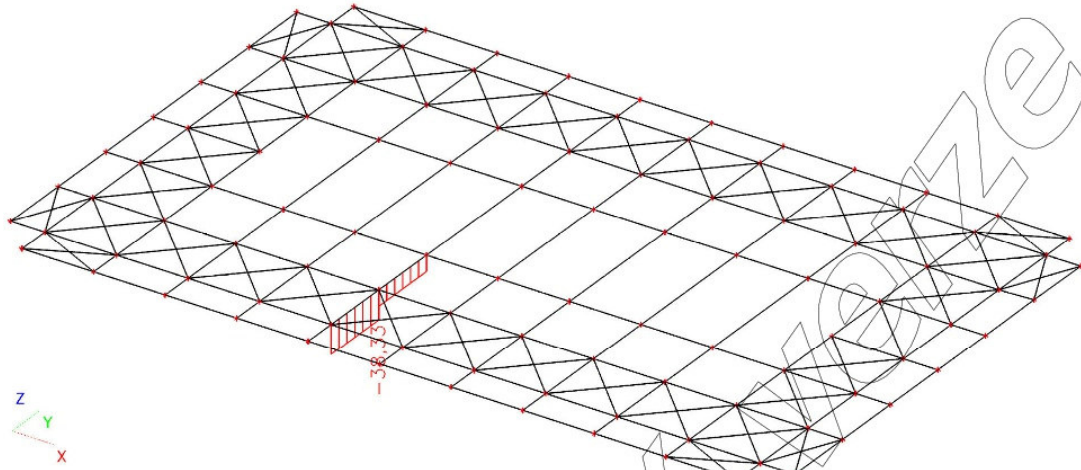
13. Vitr severovýchodní



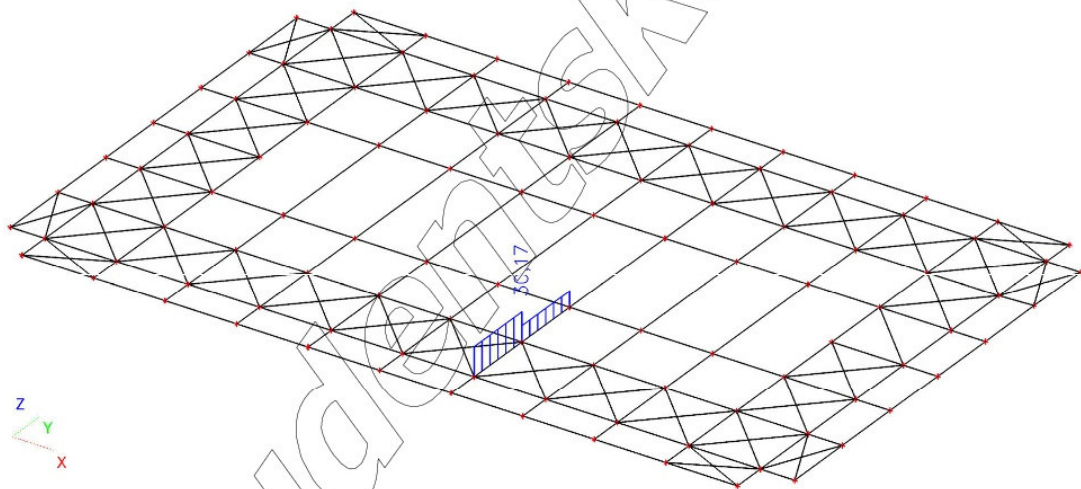
14. Vitr severozápadní



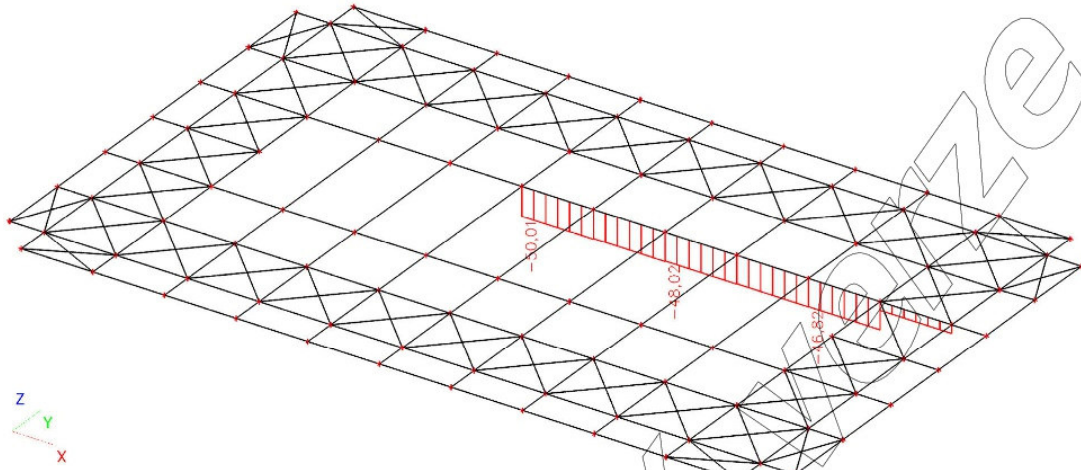
1. N- max. ve stropnici (vítr severní)



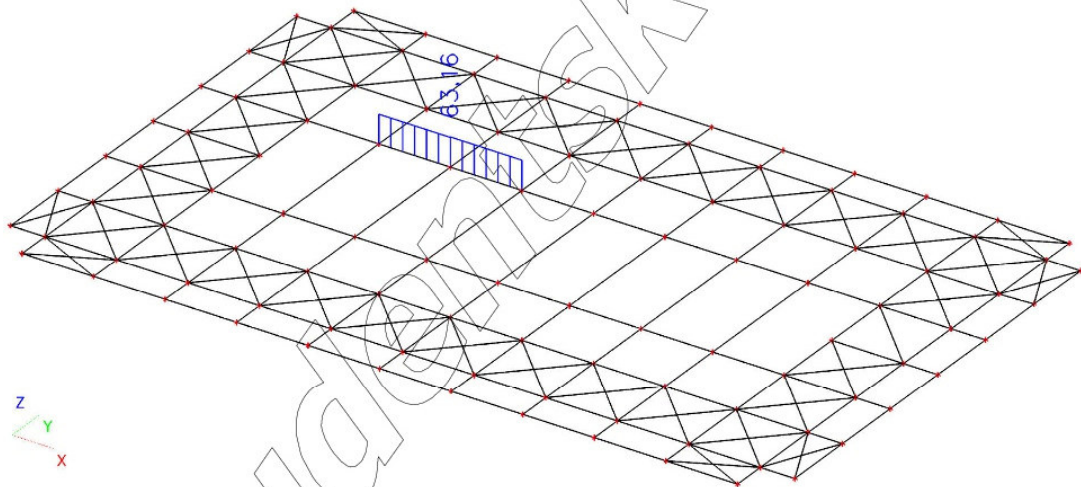
2. N+ max. ve stropnici (vítr jižní)



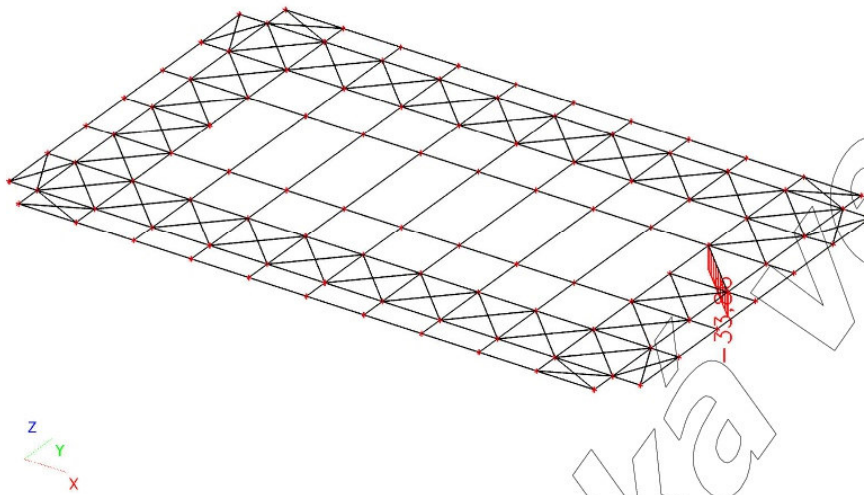
3. N- max. ve vazníku (vítr východní)



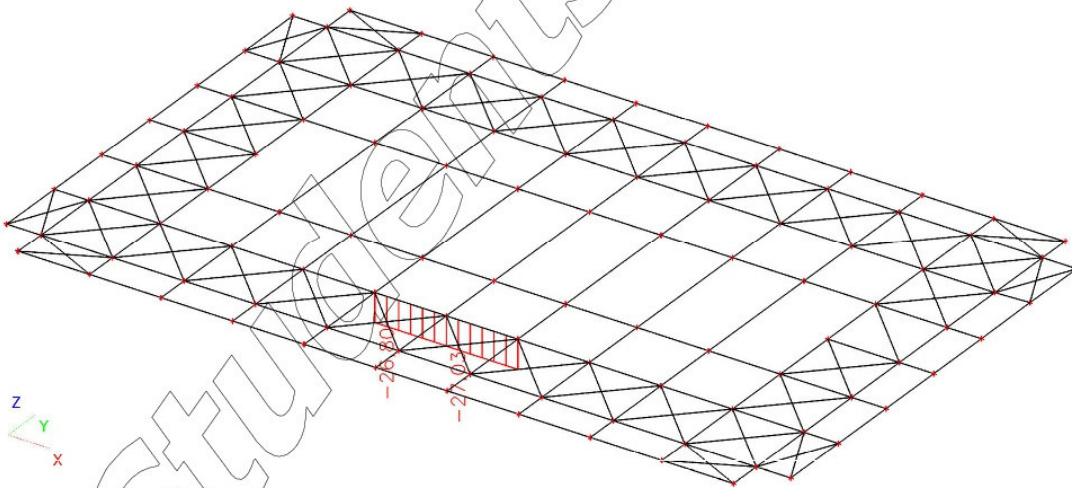
4. N+ max. ve vazníku (vítr východní)



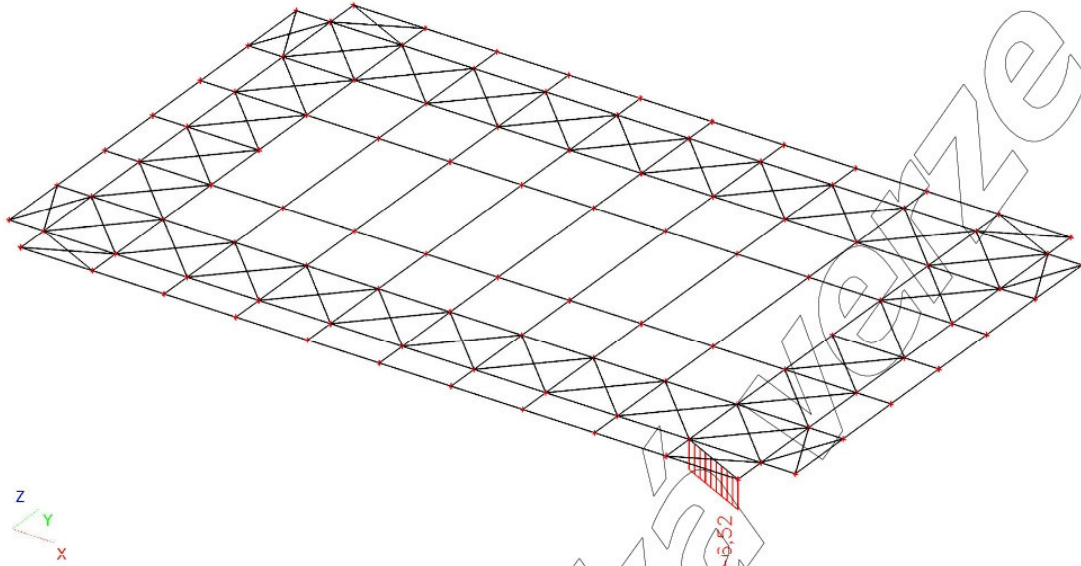
5. N- max. v diagonálách D1 (vítr východní)



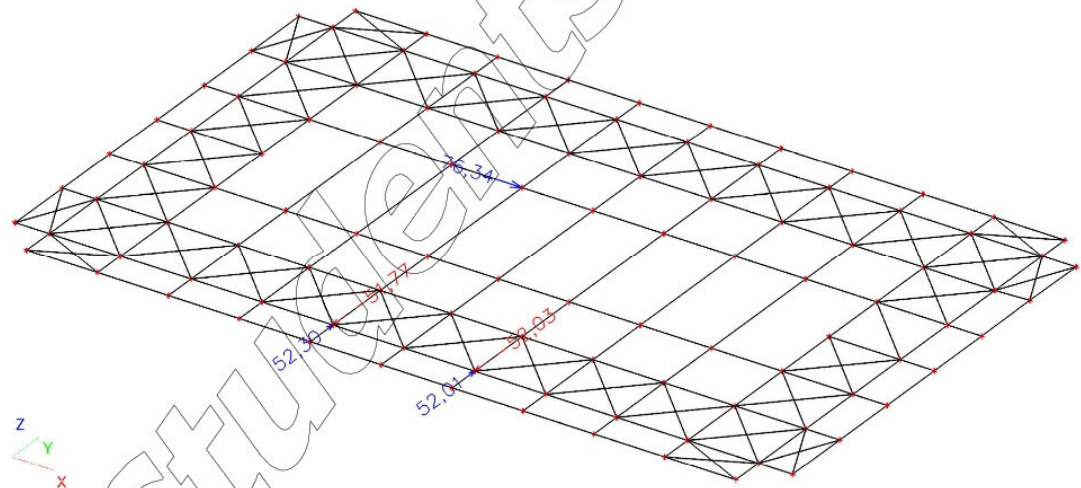
6. N- max. ve ztužidle (vítr jižní)



7. N- max. v diagonále (ochoz) (vítr severní)



8. Reakce stěnových ztužidel



Projekt:	Datum: 03/05/2018	Page: 1/3
Předmět:	Organizace:	
Adresa:	Adresa:	
Projektant:	Kontakt:	
Zkontrolováno:		
Poznámky		

Vstupní údaje

Typ a velikost kotvy	R-KERII+R-STUDS-16190-88-FL High performance resin for use with metric threaded rods - steel class 8.8
Jmenovitá hl. kotvení (h_{nom})	63 mm, ($h_{ef} = 63$ mm)
Materiál podloží	Netrhlinový beton (C20/25) rozsah pracovní tepl. None
Vyztužení	Rozestupy <150 nebo rozestupy <100 při $\leq \varnothing 10$
Podélné vyztužení hrany	Bez vyztužení hrany a třmenů
Installation	Hammer drilling, Installation conditions: Dry concrete
Distanční upevňování	Vzdálenost 30 mm s cementovou maltou Pevnost v tlaku (grout): 30 N/mm ²
Připevňovaný prvek	Čelní panel (x = 200, y = 250 mm) Deklarovaná tloušťka: $t_{fix} = 10$ mm Hloubka kotvení: Nekontrolovaný Materiál: S235 (další EN 10025) $f_{yk} = 235$ [MPa], $\gamma = 1.10$
Profil	HE 120B (b=120, h=120 mm)
Východiska projektu	Shodně s ETAG BOND, technickou zprávou EOTA TR029 a ETA-17-0594



Vypočítané zatížení			
V_x [kN]	0.00	M_x [kNm]	0.00
V_y [kN]	0.00	M_y [kNm]	0.00
N [kN]	23.23	M_z [kNm]	0.00

Ověřte si, jestli se zadané údaje a výsledky shodují s reálnými podmínkami a referenčními dokumenty, jako jsou normy, pokyny ETA, schválení.

Projekt:
Předmět:
Adresa:
Projektant:

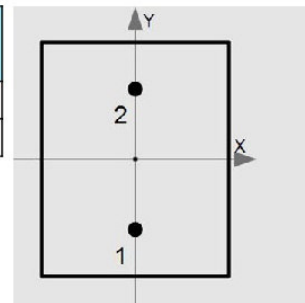
Datum: 03/05/2018
Organizace:
Adresa:
Kontakt:

Page: 2/3

Výsledné síly v kotvách

Kotva	Rozpínací síla [kN]	Střížná síla [kN]	Střížná síla x [kN]	Střížná síla y [kN]
1	11.615	0.000	0.000	0.000
2	11.615	0.000	0.000	0.000

Max. prnutí v betonu: 0.00 [N/mm²]



Namáhání v tahu (shodně s ETAG BOND a technickou zprávou EOTA TR029)

Zničení oceli		Kombinace: výřez kotvy a kužele betonu		Vytrhnutí kužele betonu		Rozštípnutí betonu	
		$N_{Rk,p}^0$ [kN]	41.25	$N_{Rk,c}^0$ [kN]	25.33		
		τ_{Rk} [N/mm ²]	13.00	k_1	10.10		
		$A_{p,Np}$ [mm ²]	64,269.14	$A_{c,N}$ [mm ²]	64,269.14		
		$A_{p,Np}^0$ [mm ²]	35,862.89	$A_{c,N}^0$ [mm ²]	35,862.89		
		$c_{cr,Np}$ [mm]	94.69	$c_{cr,N}$ [mm]	94.69		
		$s_{cr,Np}$ [mm]	189.38	$s_{cr,N}$ [mm]	189.38		
		$\psi_{s,Np}$	1.00	$\psi_{s,N}$	1.00		
		$\psi_{re,Np}$	0.82	$\psi_{re,N}$	0.82		
		$\psi_{ec,Np}$	1.00	$\psi_{ec,N}$	1.00		
		e_{Nx} [mm]	0.00	e_{Nx} [mm]	0.00		
		e_{Ny} [mm]	0.00	e_{Ny} [mm]	0.00		
		$\psi_{g,Np}$	1.00				
		k	3.20				
		ψ_c	1.00				
$N_{Rk,s}$ [kN]	126.00	$N_{Rk,p}$ [kN]	60.29	$N_{Rk,c}$ [kN]	37.02		
Y_{Ms}	1.50	Y_{Mp}	1.50	Y_{Mc}	1.50		
$N_{Rd,s}$ [kN]	84.00	$N_{Rd,p}$ [kN]	40.19	$N_{Rd,c}$ [kN]	24.68		
N_{Sd} [kN]	11.62	N_{Sd} [kN]	23.23	N_{Sd} [kN]	23.23		
β_{N1}	13.9	β_{N2}	57.8	β_{N3}	94.2	β_{N4}	ND

Ověřte si, jestli se zadané údaje a výsledky shodují s reálnými podmínkami a referenčními dokumenty, jako jsou normy, pokyny ETA, schválení.

Projekt:
Předmět:
Adresa:
Projektant:

Datum: 03/05/2018
Organizace:
Adresa:
Kontakt:

Page: 3/3

Kombinace namáhání v tahu a namáhání ve stříhu

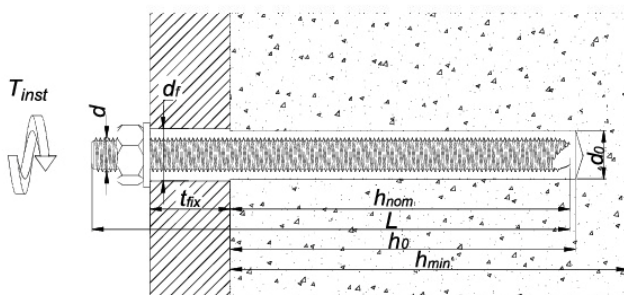
β_N [%]	β_V [%]	Napínání [%] = β_N
94.2	ND	94.2
Napínání 94.2% - správné spojení		

Pozor

- Zodpovědnost za shodu s aktuálně platnými normami leží na straně uživatele.

Montážní údaje pro R-KERII+R-STUDS-16190-88-FL

Průměr závitu	d [mm]	16.0
Průměr otvoru v podloží	d_0 [mm]	18
Min. hloubka otvoru v podloží	h_0 [mm]	68
Jmenovitá hl. kotvení	h_{nom} [mm]	63
Min. síla podloží	h_{min} [mm]	100
Moment utahování	T_{inst} [kNm]	0.08
Délka kotvy	L [mm]	190
Síla základny	t_{fix} [mm]	10
Průměr otvoru v připevňovaném dílu	d_f [mm]	18
Množství pryskyřice na jedno připevnění	- [ml]	9

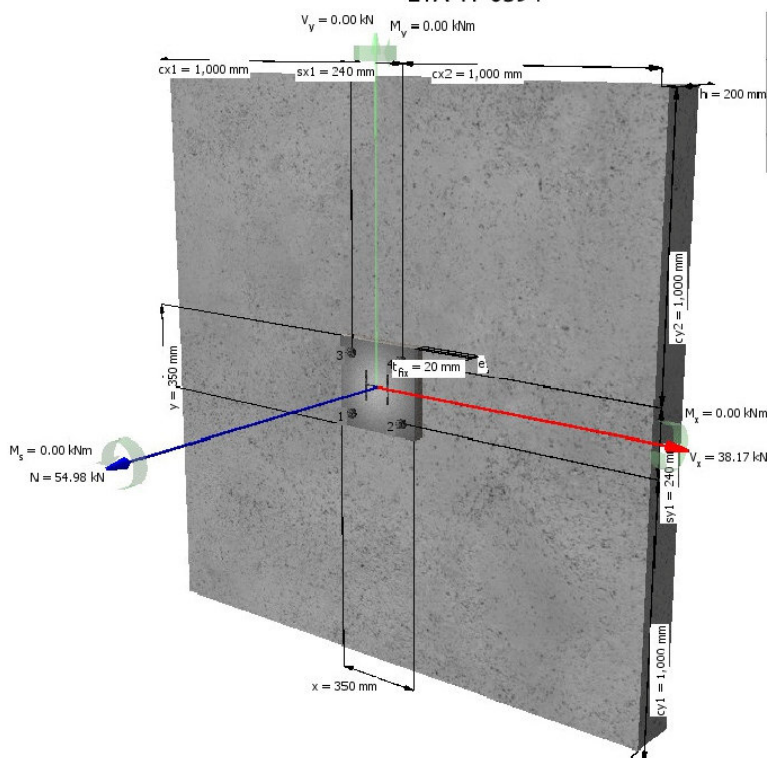


Ověřte si, jestli se zadané údaje a výsledky shodují s reálnými podmínkami a referenčními dokumenty, jako jsou normy, pokyny ETA, schválení.

Projekt:	Datum: 03/05/2018	Page: 1/4
Předmět:	Organizace:	
Adresa:	Adresa:	
Projektant:	Kontakt:	
Zkontrolováno:		
Poznámky		

Vstupní údaje

Typ a velikost kotvy	R-KERII+R-STUDS-24300-88-FL High performance resin for use with metric threaded rods - steel class 8.8
Jmenovitá hl. kotvení (h_{nom})	96 mm, ($h_{ef} = 96$ mm)
Materiál podloží	Netrhlinový beton (C20/25) rozsah pracovní tepl. None
Vyztužení	Rozestupy ≥ 150 nebo rozestupy ≥ 100 při $\leq \varnothing 10$
Podélné vyztužení hrany	Bez vyztužení hrany a třmenů
Installation	Hammer drilling, Installation conditions: Dry concrete
Distanční upevňování	Vzdálenost 30 mm s cementovou maltou Pevnost v tlaku (grout): 30 N/mm ²
Připevňovaný prvek	Čelní panel ($x = 350$, $y = 350$ mm) Deklarovaná tloušťka: $t_{fix} = 20$ mm Hloubka kotvení: Nekontrolovaný Materiál: S235 (další EN 10025) $f_{yk} = 235$ [MPa], $\gamma = 1.10$
Profil	HE 120B ($b = 120$, $h = 120$ mm)
Východiska projektu	Shodně s ETAG BOND, technickou zprávou EOTA TR029 a ETA-17-0594



Vypočítané zatížení			
V_x [kN]	38.17	M_x [kNm]	0.00
V_y [kN]	0.00	M_y [kNm]	0.00
N [kN]	78.21	M_z [kNm]	0.00

Ověřte si, jestli se zadané údaje a výsledky shodují s reálnými podmínkami a referenčními dokumenty, jako jsou normy, pokyny ETA, schválení.

Projekt:
Předmět:
Adresa:
Projektant:

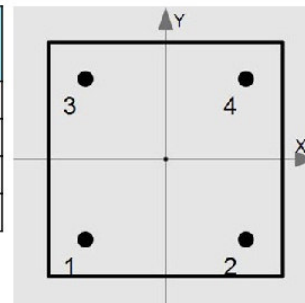
Datum: 03/05/2018
Organizace:
Adresa:
Kontakt:

Page: 2/4

Výsledné síly v kotvách

Kotva	Rozpínací síla [kN]	Střížná síla [kN]	Střížná síla x [kN]	Střížná síla y [kN]
1	19.553	9.543	9.543	0.000
2	19.553	9.543	9.543	0.000
3	19.553	9.543	9.543	0.000
4	19.553	9.543	9.543	0.000

Max. prnutí v betonu: 0.00 [N/mm²]



Namáhání v tahu (shodně s ETAG BOND a technickou zprávou EOTA TR029)

Zničení oceli		Kombinace: výřez kotvy a kužele betonu		Vytrhnutí kužele betonu		Rozštípnutí betonu	
		$N_{Rk,p}^0$ [kN]	72.38	$N_{Rk,c}^0$ [kN]	47.50	$N_{Rk,sp}^0$ [kN]	47.50
		τ_{Rk} [N/mm ²]	10.00	k_1	10.10	k_1	10.10
		$A_{p,Np}$ [mm ²]	278,784.00	$A_{c,N}$ [mm ²]	278,784.00	$A_{c,sp}$ [mm ²]	278,784.00
		$A_{p,Np}^0$ [mm ²]	82,944.00	$A_{c,N}^0$ [mm ²]	82,944.00	$A_{c,sp}^0$ [mm ²]	82,944.00
		$c_{cr,Np}$ [mm]	144.00	$c_{cr,N}$ [mm]	144.00	$c_{cr,sp}$ [mm]	144.00
		$s_{cr,Np}$ [mm]	288.00	$s_{cr,N}$ [mm]	288.00	$s_{cr,sp}$ [mm]	288.00
		$\psi_{s,Np}$	1.00	$\psi_{s,N}$	1.00	$\psi_{s,sp}$	1.00
		$\psi_{re,Np}$	1.00	$\psi_{re,N}$	1.00	$\psi_{re,sp}$	1.00
		$\psi_{ec,Np}$	1.00	$\psi_{ec,N}$	1.00	$\psi_{ec,sp}$	1.00
		e_{Nx} [mm]	0.00	e_{Nx} [mm]	0.00	e_{Nx} [mm]	0.00
		e_{Ny} [mm]	0.00	e_{Ny} [mm]	0.00	e_{Ny} [mm]	0.00
		$\psi_{g,Np}$	1.00			$\psi_{h,sp}$	1.17
		k	3.20				
		ψ_c	1.00				
$N_{Rk,s}$ [kN]	282.00	$N_{Rk,p}$ [kN]	243.28	$N_{Rk,c}$ [kN]	159.65	$N_{Rk,sp}$ [kN]	186.56
γ_{Ms}	1.50	γ_{Mp}	1.50	γ_{Mc}	1.50	γ_{Mc}	1.50
$N_{Rd,s}$ [kN]	188.00	$N_{Rd,p}$ [kN]	162.19	$N_{Rd,c}$ [kN]	106.44	$N_{Rd,sp}$ [kN]	124.37
N_{Sd} [kN]	19.55	N_{Sd} [kN]	78.21	N_{Sd} [kN]	78.21	N_{Sd} [kN]	78.21
β_{N1}	10.5	β_{N2}	48.3	β_{N3}	73.5	β_{N4}	62.9

Ověřte si, jestli se zadané údaje a výsledky shodují s reálnými podmínkami a referenčními dokumenty, jako jsou normy, pokyny ETA, schválení.

Projekt:
Předmět:
Adresa:
Projektant:

Datum: 03/05/2018
Organizace:
Adresa:
Kontakt:

Page: 3/4

Namáhání ve stříhu (shodně s ETAG BOND a technickou zprávou EOTA TR029)

Zničení oceli (nez momentu)		Zničení oceli (s momentem)		Vytrhnutí betonu		Zničení hrany betonu	
		M_{Rk}^0 [kNm]	0.90	$N_{Rk,c}^0$ [kN]	47.50	$V_{Rk,c}^0$ [kN]	294.70
		N_{Sd} [kN]	19.55	k_1	10.10	k_1	2.40
		$N_{Rd,s}$ [kN]	188.00				
		$M_{Rk,s}$ [kNm]	0.80	$A_{c,N}$ [mm ²]	278,784.00	$A_{c,V}$ [mm ²]	448,000.00
				$A_{c,N}^0$ [mm ²]	82,944.00	$A_{c,V}^0$ [mm ²]	2,000,000.00
						c_1 [mm]	1,000.00
						c_1' [mm]	666.67
				$c_{cr,N}$ [mm]	144.00	$\psi_{a,V}$	1.00
				$s_{cr,N}$ [mm]	288.00		
				$\psi_{s,N}$	1.00	$\psi_{s,V}$	1.00
				$\psi_{re,N}$	1.00	$\psi_{re,V}$	1.00
				$\psi_{ec,N}$	1.00	$\psi_{ec,V}$	1.00
				e_{Nx} [mm]	0.00	e_{Vx} [mm]	0.00
		a_M	2.00	e_{Ny} [mm]	0.00	e_{Vy} [mm]	0.00
		l [mm]	40.00	k	2.00	$\psi_{h,V}$	2.24
$V_{Rk,s}$ [kN]	141.00	$V_{Rk,s}^M$ [kN]	40.23	$V_{Rk,cp}$ [kN]	319.31	$V_{Rk,c}$ [kN]	147.61
Y_{Ms}	1.25	Y_{Ms}	1.25	Y_{Mc}	1.50	Y_{Mc}	1.50
$V_{Rd,s}$ [kN]	112.80	$V_{Rd,s}^M$ [kN]	32.18	$V_{Rd,cp}$ [kN]	212.87	$V_{Rd,c}$ [kN]	98.41
V_{Sd} [kN]	9.54	V_{Sd} [kN]	9.54	V_{Sd} [kN]	38.17	V_{Sd} [kN]	38.17
β_{V1}	8.5	β_{V2}	29.7	β_{V3}	18.0	β_{V4}	38.8

Kombinace namáhání v tahu a namáhání ve stříhu

β_N [%]	β_V [%]	α	Napínání [%] = $\beta_N^\alpha + \beta_V^\alpha$
73.5	38.8	1.5	87.2
Napínání 87.2% - správné spojení			

Pozor

- Zodpovědnost za shodu s aktuálně platnými normami leží na straně uživatele.

Ověřte si, jestli se zadané údaje a výsledky shodují s reálnými podmínkami a referenčními dokumenty, jako jsou normy, pokyny ETA, schválení.

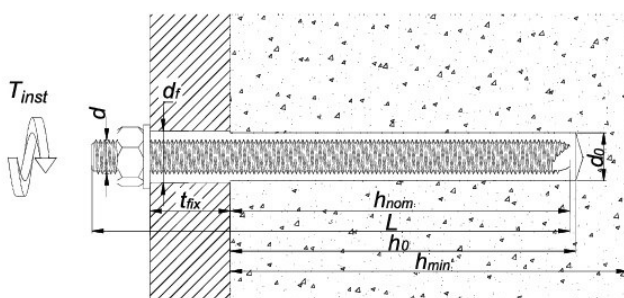
Projekt:
Předmět:
Adresa:
Projektant:

Datum: 03/05/2018
Organizace:
Adresa:
Kontakt:

Page: 4/4

Montážní údaje pro R-KERII+R-STUDS-24300-88-FL

Průměr závitu	d [mm]	24.0
Průměr otvoru v podloží	d_0 [mm]	28
Min. hloubka otvoru v podloží	h_0 [mm]	101
Jmenovitá hl. kotvení	h_{nom} [mm]	96
Min. síla podloží	h_{min} [mm]	152
Moment utahování	T_{inst} [kNm]	0.16
Délka kotvy	L [mm]	300
Síla základny	t_{fix} [mm]	20
Průměr otvoru v připevňovaném dílu	d_f [mm]	26
Množství pryskyřice na jedno připevnění	- [ml]	33



Ověřte si, jestli se zadané údaje a výsledky shodují s reálnými podmínkami a referenčními dokumenty, jako jsou normy, pokyny ETA, schválení.